

Termodynamika a statistická fyzika - V1.0

ZS 2004 / 2005¹

1. Úvod

termodynamika - makroskopické hledisko; mechanika nevysvětluje všechny jevy rovnovážný stav

stavové veličiny - jejich počet charakterizuje maximální počet makroskopických informací o systému

stavové funkce - vyjdu z nějakého stavu a vrátím se zpět se stejnou hodnotou jako na začátku

1.1. Tři ilustrační příklady

Entropie hrací kostky, Myš v bludišti, Ehrenfestův model

1.1.1. Příklad první: Entropie hrací kostky

Mějme náhodnou proměnnou K :

$$K : \begin{cases} p_1 = \frac{1}{6} & K_1 = 1 \\ \vdots & \vdots \\ p_6 = \frac{1}{6} & K_6 = 6 \end{cases} \quad (1)$$

O střední hodnotě K víme:

$$\langle K \rangle = \sum_{i=1}^6 p_i K_i \quad (2)$$

Dále máme 2 vazby

$$\sum_{i=1}^6 p_i = 1 \quad (3)$$

$$\sum_{i=1}^6 p_i K_i = 3 \rightarrow \text{asi nepravidelná kostka} \quad (4)$$

Zavedeme novou veličinu, budeme jí říkat **informační entropie**

$$S(p_1, p_2, p_3, p_4, p_5, p_6) = -k_B \sum_{i=1}^6 p_i \ln p_i \quad (5)$$

Nejlepší odhad pravděpodobnosti p_i získám maximalizací S :

$$S\left(\frac{1}{6}, \dots, \frac{1}{6}\right) = -k_B \cdot \frac{1}{6} \cdot 6 \ln \frac{1}{6} = k_B \ln 6 \quad (6)$$

¹Zápisky z přednášek OFY031, V1.0, 16.1.2005. Chyby hlašte prosím na mail bug@schovan.net. Přepsala Jaroslava Schovancová

entropie - míra informace, když sdělíme výsledek pokusu

Nechť $S(1, 0, \dots, 0) = 0$ - vím, že může padnout pouze 1. Zavedu následující vazebné podmínky:

$$\sum_{i=1}^6 p_i \varepsilon_i = u \quad (7)$$

Nová veličina U je střední hodnota pokusu, nazvu ji **vnitřní energie**. Dále veličinu ε_i představují **energie jednotlivých mikrostavů** a p_i pravděpodobnosti jednotlivých mikrostavů.

Proces maximalizace - počítání extrému fce více proměnných s vazbami:

- 1) Pomocná funkce

$$\tilde{S}(p_1, \dots, p_6) = -k_B \sum_{i=1}^6 p_i \ln p_i - \lambda_0 \left[\sum_{i=1}^6 p_i - 1 \right] - \lambda_1 \left[\sum_{i=1}^6 \varepsilon_i p_i - u \right] \quad (8)$$

Lagrangeovy multiplikátory spojíme s vazbami

- 2) Nutná podmínka extrému:

$$\frac{\partial \tilde{S}}{\partial p_i} = 0 \quad \forall i = 1, \dots, 6 \quad (9)$$

- 3) Vyjádření p_i pomocí multiplikátorů:

$$p_i = \exp \left[-1 - \frac{\lambda_0}{k_B} - \frac{\lambda_1}{k_B} \varepsilon_i \right] \quad (10)$$

- 4) Dosadíme za p_i do vazebních podmínek → vyloučení multiplikátorů:

$$p_i = \frac{e^{-\beta \varepsilon_i}}{\sum_j e^{-\beta \varepsilon_j}} = \frac{e^{-\beta \varepsilon_i}}{Z(\beta)}, \text{ kde } \beta = \frac{\lambda_1}{k_B} \quad (11)$$

$$Z(\beta) = \sum_j e^{-\beta \varepsilon_j} \quad (12)$$

Výraz (12) definuje **stavovou sumu** $Z(\beta)$. Dále definujeme tzv. **Boltzmanův faktor**:

$$\frac{p_1}{p_2} = e^{-\beta(\varepsilon_1 - \varepsilon_2)} \quad (13)$$

Dosazení (11) do (7):

$$\sum_{i=1}^6 p_i \varepsilon_i = \sum_{i=1}^6 \varepsilon_i \frac{e^{-\beta \varepsilon_i}}{Z(\beta)} = u \quad (14)$$

Inverzí získáme vztah $\beta = \beta(u)$.

Závěr:

$$p_i = \frac{e^{-\beta(u)\varepsilon_i}}{Z(\beta(u))} \quad (15)$$

Ne vždy se ukáže, že náš odhad souhlasí se skutečností, je to možné např. neznalostí nějaké vazby.

Zavedeme-li u jako

$$u = -\frac{\partial}{\partial \beta} \ln Z(\beta) \text{ a provedeme substituci } \omega = e^{-\beta}, \quad (16)$$

ukáže se, že

$$u = -\frac{\partial}{\partial \beta} \ln[\omega + \omega^2 + \dots + \omega^6] \quad (17)$$

Můžeme tedy řešit algebraickou rovnici

$$\omega^6(6-u) + \omega^5(5-u) + \dots + \omega^1(1-u) = 0 \quad (18)$$

Z (16) plyne, že rovnice (18) nemá nulové řešení: $\omega \neq 0$. Tedy budu řešit rovnici 5. řádu. Ze závislosti $\omega(u)$ pak získám závislost $\beta(u)$.

Pro entropii platí

$$S(p_1, \dots, p_6) = -k_B \sum_{i=1}^6 p_i(u) \ln p_i(u) \quad (19)$$

Podmínka pro vyloučení β lze zapsat jako

$$\beta = \frac{dS(u)}{du}, \quad (20)$$

tedy β je směrnice tečny k $S(u)$ - β má význam převrácené teploty.

Pokud $u = 3, 5$, pak $\beta = 0$, a tedy teplota $\nearrow \infty \rightarrow$ všechny hodnoty mají stejnou pravděpodobnost. Dle vztahu (20) mohou být i záporné absolutní teploty.

Máme-li výchozí parametr u, β, S (jeden do datečně určuje stav) \rightarrow 1D případ.

stav určen:

$$\begin{array}{ll} u & \beta(u), S(u) \\ \beta & S(\beta), u(\beta) \\ S & u(S), \beta(S) \end{array}$$

Ne všechny funkce jsou prosté \rightarrow inverze není jednoznačná.

Nyní přidáme další parametr V (objem) - tzv. **vnější parametr**. Nechť

$$\varepsilon_i = \varepsilon_i(V) = i\mu_0 V \quad (21)$$

Vnitřní energie u se může měnit dvěma způsoby:

$$u = \sum_{i=1}^6 \varepsilon_i(V) p_i \quad (22)$$

- 1) nemění se pravděpodobnost p_i , ale energie mikrostavů $\varepsilon_i \rightarrow$ bud' dostáváme práci, nebo kostka koná práci
- 2) fixuji V (tedy i energii mikrostavů), p_i se mění \rightarrow výměna tepla

- $p_i(u, V) \Rightarrow S(u, V)$

Ted' máme 5 stávajících veličin (β, S, u, V, p), ale jen 2 nezávislé \Rightarrow 2D případ.

Veličina p (tlak) má význam, jak se kostka brání proti změně objemu.

$$p = - \sum_{j=1}^6 \varepsilon'_j(V) p_j \quad (23)$$

1.2. Zákony ideálního plynu

1.2.1. Izotermický děj $T = \text{konst.}$

$$pV = \text{konst.}$$

1.2.2. Izobarický děj $p = \text{konst.}$

$$\frac{V}{T} = \text{konst.}$$

1.2.3. Izochorický děj $V = \text{konst.}$

$$\frac{p}{T} = \text{konst.}$$

1.2.4. Obecně ideální plyn

$$pV = nRT \quad \dots \text{ stavová rovnice}$$

1.3. Termické koeficienty

- 1) $p = \text{konst.}$

koeficient izobarické objemové roztažnosti

$$\alpha = \frac{1}{V_0} \left(\frac{\partial V}{\partial T} \right)_p, \quad (24)$$

kde V_0 je objem při normálních podmírkách. Pro ideální plyn:

$$\alpha = \frac{1}{273,15} \text{ K}^{-1}$$

- 2) $T = \text{konst.}$ **koeficient izotermické stlačitelnosti**

$$\kappa = -\frac{1}{V_0} \left(\frac{\partial V}{\partial p} \right)_T, \quad (25)$$

- 3) $V = \text{konst.}$ **koeficient izochorické rozpínavosti**

$$\beta = \frac{1}{p_0} \left(\frac{\partial p}{\partial T} \right)_V, \quad (26)$$

Platí

$$\alpha = p_0 \beta \kappa \quad (27)$$

$V = V(T, p)$... stavová rovnice

$$dV = \left(\frac{\partial V}{\partial T} \right)_p dT + \left(\frac{\partial V}{\partial p} \right)_T dp \quad (28)$$

Pravidlo -1:

$$\left(\frac{\partial V}{\partial T} \right)_p \left(\frac{\partial T}{\partial p} \right)_V \left(\frac{\partial p}{\partial V} \right)_T = -1 \quad (29)$$

Z definic koeficientů a z věty o inverzní fci plyne

$$V_0 \alpha \frac{1}{p_0 \beta} \left(\frac{-1}{V_0 \kappa} \right) = 1$$

$$\frac{\alpha}{p_0 \beta \kappa} = 1$$

$$\alpha = p_0 \beta \kappa$$

1.4. Tepelné koeficienty

$$c_1 m_1 (T_1 - T) = c_2 m_2 (T - T_2) \quad \text{vyrovnávání teplot} \quad (30)$$

$c_i \dots$ měrná tepelná kapacita, [$\frac{\text{J}}{\text{kgK}}$]

$$C_i = c_i m_i \quad (31)$$

$C_i \dots$ tepelná kapacita, [$\frac{\text{J}}{\text{K}}$]

Tepelná kapacita je teplo, které musíme dodat systému, aby se ohřál o 1 stupeň:

$$C = \frac{dQ}{dT} \quad (32)$$

Při konstantním tlaku:

$$C_p = \frac{dQ_p}{T} \quad (33)$$

Při konstantním objemu:

$$C_V = \frac{dQ_V}{T} \quad (34)$$

2. Tři termodynamické zákony

2.1. První věta termodynamická

Teplo dodané systémem se přemění na vnitřní energii a vykonanou práci:

$$dQ = dU + dW \quad (35)$$

Dodané teplo \oplus , odebrané teplo \ominus

Práce systému \oplus , práce vnějších sil na systému \ominus
Symboly dQ a dW značí, že Q a W nejsou stavové veličiny. Kdyby bylo teplo stavovou veličinou, šlo by napsat $Q(T, p)$:

$$dQ = \left(\frac{\partial Q}{\partial T} \right)_p dT + \left(\frac{\partial Q}{\partial p} \right)_T dp \rightarrow \text{to nelze}$$

Oproti tomu $dW = pdV$. Veličiny p a V už jsou stavové veličiny, není velký problém nahradit neslavové dW stavovými veličinami:

$$Q = \left(\frac{\partial U}{\partial T} \right)_V dT + \left[\left(\frac{\partial U}{\partial V} \right)_T + p \right] dV, \quad (36)$$

kam jsme dosadili $U(V, T)$ a $p(V, T)$.

- $V = \text{konst.}$

$$dV = 0$$

$$dQ_V = \left(\frac{\partial U}{\partial T} \right)_V dT$$

$$C_V = \frac{dQ_V}{dT}$$

Při konstantním objemu můžu nahradit teplo vnitřní energií, to už je stavová veličina:

$$C_V = \left(\frac{\partial U}{\partial T} \right)_V \quad (37)$$

- $p = \text{konst.}$

$$dQ_p = dU + pdV + Vdp = d\underbrace{U + pV}_H = dH,$$

kde

$$H = U + pV \text{ je } \mathbf{entalpie}, \text{ nechť } H(T, p) \quad (38)$$

$$\begin{aligned} dH &= \left(\frac{\partial H}{\partial T}\right)_p dT + \left(\frac{\partial H}{\partial p}\right)_T dp \\ dQ_p &= \left(\frac{\partial H}{\partial T}\right)_p dT \\ C_p &= \left(\frac{\partial H}{\partial T}\right)_p \end{aligned} \quad (39)$$

- $T = \text{konst.}$

$$dQ_T = dU + pdV, \text{ kde } U(T, V)$$

$$dQ_T = \left(\frac{\partial U}{\partial T}\right)_V dT + \left[\left(\frac{\partial U}{\partial V}\right)_T + p\right] dV$$

2.2. Cyklický děj

Stavová veličina - její integrál nezávisí na dráze:
 $\oint dU = 0$

$$\Delta Q = \oint dQ = \oint dW = \Delta W$$

Tedy $\Delta Q = \Delta W$ za cyklus

Jak vypadá $C_p - C_V$?

$$dQ = dU + pdV$$

$$C_p = \left(\frac{\partial H}{\partial T}\right)_p$$

$$C_V = \left(\frac{\partial U}{\partial T}\right)_V \rightarrow \text{potřebuji si zapsat } U = U(T, V)$$

$$\underbrace{dQ}_{C_V} = \left(\frac{\partial U}{\partial T}\right)_V dT + \left(\frac{\partial U}{\partial V}\right)_T dV + pdV$$

Nechť $V(T, p)$:

$$\begin{aligned} dQ &= C_V dT + \left(\frac{\partial U}{\partial V}\right)_T \left(\frac{\partial V}{\partial T}\right)_p dT + \left(\frac{\partial U}{\partial V}\right)_T \left(\frac{\partial V}{\partial p}\right)_T dp + \\ &\quad p \left(\frac{\partial V}{\partial T}\right)_p dT + p \left(\frac{\partial V}{\partial p}\right)_T dp \end{aligned}$$

Abychom dostali C_p , potřebujeme $p = \text{konst.}$:

$$\begin{aligned} dQ &= dH \\ dQ &= \left(\frac{\partial H}{\partial T}\right)_p dT = C_p dT \\ C_p &= C_V + \left(\frac{\partial V}{\partial T}\right)_p \left[\left(\frac{\partial U}{\partial V}\right)_T + p \right] \end{aligned} \quad (40)$$

2.3. Jouleův pokus

Máme 2 nádoby, probíhá adiabatický děj ($dQ = 0$). Na začátku je plyn v 1 z nádob, potom otevřeme kohoutek a plyn pronikne i do 2. nádoby. Systém ani vnější síly nekonají práci: $dW = 0$. Teplota s nezměnila: $dT = 0$, ale změnil se objem: $dV \neq 0 \rightarrow$ popisují 2 rovnovážné stavy, nikoli to, co se stalo mezi tím.

$$\begin{aligned} dQ &= dU + pdV, \text{ jelikož } dU = 0 \Rightarrow \\ \Rightarrow \left(\frac{\partial U}{\partial T}\right)_V dT + \left(\frac{\partial U}{\partial V}\right)_T dV &= 0 \Rightarrow \\ \Rightarrow \left(\frac{\partial U}{\partial V}\right)_T &= 0 \text{ pro id.plyn} \end{aligned}$$

Takto získáme **Mayerův vztah** pro ideální plyn

$$C_p - C_V = p \left(\frac{\partial V}{\partial T}\right)_p = R \quad (41)$$

Ze stavové rovnice pro 1 mol id. plynu získáme

$$V = \frac{RT}{p} \Rightarrow \left(\frac{\partial V}{\partial T}\right)_p = \frac{R}{p}$$

Člen $\left(\frac{\partial U}{\partial V}\right)_T$: vnitřní energie se s objemem při konstantní teplotě u ideálního plynu nemění.

Jak vypadá ΔQ pro ideální plyn? Nechť $T = \text{konst.}$, přechod $V_1 \rightarrow V_2$:

$$\begin{aligned} dQ &= dU + pdV \\ dQ &= \underbrace{\left(\frac{\partial U}{\partial T}\right)_V dT}_{=0} + \underbrace{\left(\frac{\partial U}{\partial V}\right)_T dV}_{=0} + pdV \\ dQ &= pdV \\ \Delta Q &= \int_1^2 pdV = RT \ln \frac{V_2}{V_1} \end{aligned} \quad (42)$$

Pro přechod $p_1 \rightarrow p_2$ je $\Delta Q = RT \ln \frac{V_2}{V_1}$
 Tedy pro u přechodu 0,1 MPa \rightarrow 1 MPa a u přechodu 10 MPa \rightarrow 100 MPa konám stejnou práci (u ideálního plynu).

2.4. Ideální plyn

$$\left(\frac{\partial U}{\partial V}\right)_T = 0$$

$pV = RT \dots$ termická stavová rovnice

$U(T, V)$ $U(T, p) \dots$ kolorická stavová rovnice

$$dU = \underbrace{\left(\frac{\partial U}{\partial T}\right)_V}_{C_V(T)} dT + \underbrace{\left(\frac{\partial U}{\partial V}\right)_T}_{=0} dV \quad (43)$$

tedy $C_V \neq f(V)$, rovnici (43) zjednodušíme na

$$dU = C_V dT \quad (44)$$

Integrací dostaváme

$$U = C_V dT + C_0, \quad (45)$$

což je pro C_V nezávislé na T kolorická stavová rovnice.

2.5. Adiabatický děj s ideálním plymem

$$dQ = 0$$

$$dQ = dU + pdV$$

$$dU = \underbrace{\left(\frac{\partial U}{\partial T}\right)_V}_{C_V(T)} dT + \underbrace{\left(\frac{\partial U}{\partial V}\right)_T}_{=0} dV = C_V dT$$

$$C_V dT + pdV = 0$$

dosadíme $p = \frac{RT}{V}$:

$$C_V dT + \frac{RT}{V} dV = 0$$

Umíme řešit exaktní rovnici \rightarrow násobením integračním faktorem - členy musí splňovat Cauchy-Riemannovy podmínky:

$$\left(\frac{\partial f}{\partial x}\right)_y dx + \left(\frac{\partial f}{\partial y}\right)_x dy = 0$$

Tedy

$$C_V \frac{dT}{T} + \frac{R}{V} dV = 0 / \int dT$$

Označme

$$f = C_V \ln T + K(V)$$

Potom

$$\left(\frac{\partial f}{\partial V}\right)_T = K'(V) = \frac{R}{V}, \quad \text{kde } K(V) = R \ln V$$

$$C_V \ln T + R \ln V = 0 \Rightarrow T^{C_V} V^R = K$$

Jelikož $T = \frac{pV}{R}$, pak také

$$p^{C_V} V^{C_V+R} = K_2$$

Jelikož $C_p - C_V = R$, tak

$$p V^{\frac{C_p}{C_V}} = K_3$$

Dále $\frac{C_p}{C_V} = \kappa > 1$, tedy

$$p V^\kappa = \text{konst.}$$

Jak vypadá práce id. plynu při adiabatickém ději? $C_V = \text{konst.}$, přechod $T_1 \rightarrow T_2$:

$$0 = dQ = dW + dU$$

$$dU = \underbrace{\left(\frac{\partial U}{\partial T}\right)_V}_{C_V(T)} dT + \underbrace{\left(\frac{\partial U}{\partial V}\right)_T}_{=0} dV = C_V dT$$

Tedy

$$dW = -C_V dT = -C_V (T_2 - T_1) \quad (46)$$

2.6. Barometrická formule

Mějme kvádr vzduchu:

$$dm = \rho dV = \rho S dz$$

$$dG = -g \rho S dz$$

$$dp = \frac{dG}{S} = -\rho g dz \dots \text{rce rovnováhy kontinua}$$

Jak vypadá závislost $p(z)$? Potřebujeme přiblížení (izotermické nebo adiabatické): nechť je adiabatické přiblížení:

$$p V^\kappa = \text{konst.}, \quad \text{odtud } \rho(p) \rightarrow p(z)$$

Máme normovací podmínky p_0, V_0, ρ_0 :

$$p V^\kappa = p_0 V_0^\kappa, \quad \frac{pV}{T} = \frac{p_0 V_0}{T_0}. \quad (47)$$

Platí $\rho = \frac{m}{V}$, dosadíme do rovnice (47) a dostaneme

$$p \left(\frac{m}{\rho}\right)^\kappa = p_0 \left(\frac{m}{\rho_0}\right)^\kappa \Rightarrow \frac{p}{\rho^\kappa} = \frac{p_0}{\rho_0^\kappa}$$

$$\text{Rovnice rovnováhy: } dp = -\rho_0 \left(\frac{p}{p_0}\right)^{\kappa-1} gdz \quad (48)$$

$$\frac{dp}{p^{\kappa-1}} = -\rho_0 p_0^{\kappa-1} gdz$$

$$\begin{aligned} p^{-\kappa^{-1}} dp &= -\rho_0 p_0^{-\kappa^{-1}} g dz \\ \frac{\kappa}{\kappa-1} p^{1-\kappa^{-1}} + C &= -\rho_0 p_0^{-\kappa^{-1}} g z \\ p^{1-\kappa^{-1}} &= \left(\frac{1}{\kappa}-1\right) \rho_0 p_0^{-\kappa^{-1}} g z + K, \end{aligned}$$

kde $p_0^{1-\kappa^{-1}} = K$. Aplikujeme počáteční podmínky ($z=0, p=p_0$):

$$p^{1-\kappa^{-1}} = p_0^{1-\kappa^{-1}} \left[\left(\frac{1}{\kappa} \right) \rho_0 p_0^{-1} g z + 1 \right]$$

Barometrická rovnice tedy vypadá

$$p = p_0 \left(\frac{1-\kappa}{\kappa} \frac{\rho_0}{p_0} g z + 1 \right)^{\frac{1}{1-\kappa}} \quad (49)$$

2.7. Polytropické děje

Nechť platí $dQ = CdT$, kde C je **polytropická tepelná kapacita**. Obecně: diferenciální rovnice polytropy v proměnných T, V :

$$adT + bdV = 0$$

$$dQ = dU + pdV$$

$$0 = C_V dT + \left(\frac{\partial U}{\partial V} \right)_T dV + pdV - CdT$$

$$C_p - C_V = \left[\left(\frac{\partial U}{\partial V} \right)_T + p \right] \left(\frac{\partial V}{\partial T} \right)_p \quad \text{- viz minule}$$

$$\left(\frac{\partial U}{\partial V} \right)_T + p = \frac{C_p - C_V}{\left(\frac{\partial V}{\partial T} \right)_p}$$

$$0 = (C_V - C)dT + (C_p - C_V) \left(\frac{\partial T}{\partial V} \right)_p dV \quad (50)$$

Rovnice (50) představuje **rovnici polytropy** (jakýkoliv systém - nejde jen o ideální plyn).

$$p, V : \circ \quad dT = \left(\frac{\partial T}{\partial p} \right)_V dp + \left(\frac{\partial T}{\partial V} \right)_p dV$$

$$\left(\frac{\partial T}{\partial p} \right)_V dp + \frac{C_p - C_V}{C_V - C} \left(\frac{\partial T}{\partial V} \right)_p dV + \left(\frac{\partial T}{\partial V} \right)_p dV = 0 \quad (51)$$

Zavedeme **polytropický koeficient**:

$$\frac{C_p - C_V}{C_V - C} + 1 = \frac{C_p - C_V + C_V - C}{C_V - C} = \frac{C_p - C}{C_V - C} = \nu \quad (52)$$

Rovnici (51) můžeme tedy přepsat na

$$\left(\frac{\partial T}{\partial p} \right)_V dp + \frac{C_p - C}{C_V - C} \left(\frac{\partial T}{\partial V} \right)_p dV = 0 \quad (53)$$

Pro ideální plyn: $pV = RT \rightarrow T = \frac{pV}{R}$

$$\frac{V}{R} dp + \nu \frac{p}{R} dV = 0$$

$$V dp + \nu p dV = 0$$

$$\frac{dp}{p} = -\nu \frac{dV}{V}$$

$$\ln p = -\nu \ln V + C$$

Dostáváme **rovnici polytropy pro id. plyn**

$$pV^\nu = \text{konst.} \quad (54)$$

Pozn. Mezi izotermou a adiabatou jsou reálné děje. Koeficient ν může být i záporný.

Ideální plyn - polytropické děje			
ν	křivka	rovnice	C
0	izobara	$p = \text{konst.}$	C_p
1	izoterna	$pV = \text{konst.}$	∞
κ	adiabata	$pV^\kappa = \text{konst.}$	0
∞	izochora	$V = \text{konst.}$	C_V

2.8. Entropie

$$S(A) = -k \sum_{i=1}^{W(A)} p_i \ln p_i, \quad (55)$$

kde $W(A)$ je počet možných realizací.

$$S(A) = k \ln W(A) \rightarrow k \text{ určuje jednotku entropie}$$

- 1) $k = \frac{1}{\ln 2}$, $S(A) = \log_2 W(A)$ - informace uvedená v bitech (binární možnosti)
- 2) $k = \frac{1}{8 \ln 2}$, $S(A) = \frac{1}{8} \log_2 W(A)$: 1 byte = 8 bitů, 32 Mbyte → počet realizací $W(A) = 256^{32 \cdot 10^6}$
- 3) $k = 1$, $S(A) = \ln W(A)$ natt
- 4) $k = k_B = 1,38 \cdot 10^{-23} \text{ JK}^{-1}$

$$W(U) = \left(\frac{U}{U_0} \right)^{\nu N/2} \dots \text{ mocninný zákon}$$

$$S(U) = \nu \frac{N}{2} k_B (\ln U - \ln U_0)$$

$$\frac{1}{T} = \frac{dS(U)}{dU} = \nu k_B N \frac{1}{2U} \Rightarrow \frac{U}{N} = \frac{\nu}{2} k_B T, \quad (56)$$

kde $\frac{U}{N}$ je energie 1 částice a ν je počet stupňů volnosti.

2.9. Axiomy entropie

- 1) $S \geq 0$
- 2) $S_M(0, 0, \dots, 0, 1, 0, \dots) = 0$ - M výsledků, z nichž 1 padne s jistotou
- 3) $S_{max} \underbrace{\frac{1}{M}, \frac{1}{M}, \dots}_{M} = k \ln M$ - stejná pravděpodobnost všech výsledků $\rightarrow S_{max}$
- 4) S_{max} rostoucí funkce M
- 5) nezávislé jevy $p_{mm'} = p_m \cdot p_{m'}$ požadují aditivita entropie $S = S(A) + S(B)$
- 6) požadavek konzistence: (předpokládám) 2 možné výsledky - ukáže se, že jsou 3

$$S_2(p_1, \underbrace{q}_{1-p_1}) + qS_2\left(\frac{p_2}{q}, \frac{p_3}{q}\right) = S_3(p_1, p_2, p_3)$$

DÚ: Ukažte, že entropie je mírou středního počtu binárních otázk, které musíme položit, abychom zjistili výsledek experimentu. Myslím si číslo, někdo ho hádá - dělení intervalů.

2.10. Formální struktura - max& metoda

1)

$$S(\beta, X) = -k_B \sum_j p_j(\beta, X) \ln p_j(\beta, X) \quad (57)$$

po respektování 1. vazbové podmínky ($\sum_i p_i = 1$) je

$$p_j = \frac{e^{-\beta \varepsilon_j(X)}}{\sum_k e^{-\beta \varepsilon_k(X)}}, \quad (58)$$

kde $Z(\beta, X) = \sum_k e^{-\beta \varepsilon_k(X)}$ je **stavová suma**.

2)

$$U(\beta, X) = \sum_j \varepsilon_j(X) p_j(\beta, X) = \langle H(X) \rangle \quad (59)$$

moment energie $H(X)$

3)

$$Y(\beta, X) = -\langle \frac{d}{dX} H(X) \rangle = -\sum_j \varepsilon'_j(X) p_j(\beta, X) \quad (60)$$

Věta 1:

$$\frac{1}{k_B} S(\beta, X) = \left[1 - \beta \frac{\partial}{\partial \beta} \right] \ln Z(\beta, X) \quad (61)$$

Věta 2:

$$U(\beta, X) = -\frac{\partial}{\partial \beta} \ln Z(\beta, X) \quad (62)$$

Dk.:

$$\begin{aligned} -\frac{\partial}{\partial \beta} \ln Z(\beta, X) &= -\frac{1}{Z(\beta, X)} \frac{\partial}{\partial \beta} \left(\sum_j e^{-\beta \varepsilon_j(X)} \right) = \\ &= -\frac{1}{Z(\beta, X)} \cdot \sum_j -\varepsilon_j(X) e^{-\beta \varepsilon_j(X)} = \sum_j \varepsilon_j(X) p_j(\beta, X) \end{aligned}$$

Věta 3:

$$Y(\beta, X) = \frac{1}{\beta} \frac{\partial}{\partial X} \ln Z(\beta, X) \quad (63)$$

Věta 4:

$$\frac{1}{k_B} S(U, X) = \ln Z(U, X) + U \beta(U, X) \quad (64)$$

VeLičiny S, U, β, X, Y - 2 pevně zvolím, ostatní 3 z definiční vztahů \rightarrow 2D

Základní TD relace - znalost $S(U, X)$ umožňuje dopočítat ostatní pomocí $\frac{\partial}{\partial \dots}$ **Věta 5:**

$$k_B \beta(U, X) = \frac{\partial S(U, X)}{\partial U} \Rightarrow U(\beta, X) \quad (65)$$

Věta 6:

$$k_B \beta Y(\beta, X) \Big|_{\beta=\beta(U, X)} = \frac{\partial S(U, X)}{\partial X} \quad (66)$$

Věta 7: 1. věta TD

$$\begin{aligned} dS(U, X) &= k_B \beta(U, X) dU + \\ &+ k_B \beta(U, X) Y(\beta(U, X), X) dX \end{aligned} \quad (67)$$

Věta 8:

$$dU(S, X) = \frac{1}{k_B \beta(U, X)} dS - Y(S, X) dX \quad (68)$$

$$\underbrace{\langle H^2(X) \rangle - \langle H(X) \rangle^2}_{\text{variance} \geq 0} = \frac{\partial^2}{\partial \beta^2} \ln Z(\beta, X) = \\ = -\frac{\partial}{\partial \beta} U(\beta, X) \geq 0$$

U je rostoucí funkce teploty

U	S	X	základní závislost
U	S	β	
U	S	Y	
U	X	β	lehký (def.) - kalorická stav. rce
U	X	Y	
U	β	Y	
S	X	β	$S(X, \beta) = \text{def.}$
S	X	Y	
S	β	Y	
X	β	Y	termická stav. rce, def. $Y = \dots$

Př.: ideální plyn **Věta:** Pro ideální plyn má základní TD relace tvar

$$\frac{S(U, V)}{k_B} = N \left\{ \frac{5}{2} + \frac{3}{2} \ln \left[\frac{U}{N} \left(\frac{V}{N} \right)^{\frac{2}{3}} \frac{2\pi m}{3h^2} \right] \right\}, \quad (69)$$

kde m je molekulová hmotnost a N je počet částic.

Stavová suma

$$S_{A+B} = S_A + S_B$$

Problém nerozlišitelnosti mikrostavů.

$Z(\beta, L)$ 1D, 1 částice, L šířka jámy

$$Z(\beta, L) = \sum_{i=0}^{\infty} e^{-\beta \varepsilon_i(L)}, \quad (70)$$

$$\text{kde } \varepsilon_i(L) = \frac{h^2}{8mL^2} i^2 \quad \text{závěr z QM}$$

• 1)

$$Z(\beta, L) = \int_0^{\infty} dX e^{-\beta \frac{h^2}{8mL^2} X^2} = \frac{L}{\lambda},$$

$$\text{kde } \lambda = \sqrt{\frac{h^2 \beta}{2\pi m}}$$

od sumy přejdu k integraci

• 2) přechod do 3D

$$Z_3(\beta, L) = \frac{V}{\lambda^3} \quad (71)$$

• 3) střední energie 1 částice:

$$\begin{aligned} u &= \frac{U}{N} = u(\beta, V) = -\frac{\partial}{\partial \beta} \ln Z(\beta, V) = \frac{3}{2} \frac{1}{\beta} \Rightarrow \\ &\Rightarrow \beta(u, V) = \frac{3}{2} \frac{1}{u} \end{aligned} \quad (72)$$

Vnitřní energie id. plynu nezávisí na objemu - mezi molekulami nejsou interakce

• 4)

$$Z(u, V) = Z(\beta(u, V), V)$$

$$\frac{S(u, V)}{k_B} = \ln Z(u, V) + \beta(u, V)u = \frac{3}{2} + \ln \left[V \left(\frac{2\pi u}{3h^2} \right)^{3/2} \right]$$

Uvažujme N částic → umocnění stavové sumy na N
→ musíme uvažovat nerozlišitelnost
mikrostavů faktorem $\frac{1}{N!}$

• 5)

$$Z(U, V) = \frac{[Z_3(u, V)]^N}{N!} = \frac{[Z_3(\frac{U}{N}, V)]^N}{N!}$$

$$\ln N! \sim N \ln N - N$$

a) $U(\beta, V) = \frac{3}{2} N \frac{1}{\beta}$ kalorická stavová rovnice, ekvipartiční teorém ($\beta(U, V) = \frac{3}{2} \frac{N}{U}$)

b) $p(\beta, V) = \frac{1}{\beta} \frac{\partial}{\partial V} \ln Z(\beta, V) = N \frac{1}{\beta V}$ stavová rovnice ideálního plynu

Vypočtěte $S(U, X)$ pro N částic - každá se může nacházet ve stavech s energií 0,1. Střední energie systému byla U .

2.11. Myš v bludišti

Máme 9 komůrek:

1	5	2
8	9	6
4	7	3

sousední komůrky propojeny dveřmi. V místnosti si myš vybere všechny dveře se stejnou pravděpodobností.

Časový průběh: pravděpodobnost v čase n

$$p(n) = \begin{bmatrix} p_1(n) \\ p_2(n) \\ \vdots \\ p_9(n) \end{bmatrix} \quad (73)$$

$p_1(n)$ je pravděpodobnost, že myš je v čase n v 1. komoře. Pokud $n \rightarrow \infty$, potom $p(n)$ má limitu (rovnovážný stav).

Stejné pravděpodobnosti v rozích; středu; stran; středu → 3 neznámé.

Tok pravděpodobnosti - rovnovážná pravděpodobnost, že je myš v komůrce x krát pravděpodobnost průchodu do místonosti y

Komůrky v různé výšce → rozdelení energií (rohové nejvyšší, ve středu nejnižší)

↓
Nová pravidla pohybu → vzniku rovnovážného stavu - vývoj ke Gibbsovské rovnováze.

2.11.1. Princip detailní rovnováhy

Je větší pravděpodobnost, že půjde myš s kopce, než do kopce - stanovíme takto:

$$\frac{p_{8 \rightarrow 9}}{p_{9 \rightarrow 8}} = e^{-\beta(\varepsilon_9 - \varepsilon_8)}$$

Tato pravidla pro krok mi garantují Gibbsovu rovnováhu.

a) Studujte nejprve rovnováhu, střední hodnota energie $U \rightarrow$ určete základní TD relaci (nezávisí na V)

b) Dospějeme do rovnováhy a začneme měnit energie ε_i velmi pomalu (vnějšími parametry) - systém vždy stihne ustanovit novou rovnováhu → **rovnovážný (reversibilní) děj**

Matice přechodů W (pravděpodobnost přechodu z j -té (sloupec) do i -té (řádek) komory)

- ∑ celého sloupce je 1
- $p(0) = p_0$

$$p(1) = Wp(0) \quad \vdots \quad p(n) = W^n p(0)$$

$$\lim_{n \rightarrow \infty} p(n) = p_{eq} \quad - \text{rovnováha} \quad Wp_{eq} = p_{eq}$$

$$\lim_{n \rightarrow \infty} W^n p(0) = p_{eq}$$

pro libovolné $p(0) \rightarrow$ všechny sloupce stejné Po n krocích nastane rovnováha:

$$\lim_{n \rightarrow \infty} W^n p(0) = p_{eq} = \underbrace{\begin{bmatrix} 1 \\ 2 \\ 3 \\ 4 \\ 5 \\ 6 \\ 7 \\ 8 \\ 9 \end{bmatrix}}_{\text{komora } i} \quad \left[\begin{array}{c} [p_i] \\ \frac{1}{12} \\ \frac{1}{12} \\ \frac{1}{12} \\ \frac{1}{12} \\ \frac{1}{8} \\ \frac{1}{8} \\ \frac{1}{8} \\ \frac{1}{6} \end{array} \right] \quad (74)$$

Nový problém myši: myš si vybere světovou stranu a pak se podívá, jestli tam jsou dveře. Pro rovnovážnou pravděpodobnost platí

$$p_{eq} = \left(\frac{1}{9}, \frac{1}{9}, \frac{1}{9}, \frac{1}{9}, \frac{1}{9}, \frac{1}{9}, \frac{1}{9}, \frac{1}{9}, \frac{1}{9} \right)^T$$

Pravidla pro **Gibbsovu rovnováhu**:

Přidám komůrkám energii:

$$p_{eq,i} = \frac{e^{-\beta \varepsilon_i}}{Z(\beta)} \rightarrow \text{Gibbsova rovnováha} \quad (75)$$

Podmínka **detailní rovnováhy**:

$$p_C^{eq} W(C \rightarrow C') = p_{C'}^{eq} W(C' \rightarrow C) \quad (76)$$

- v rovnováze se toky v sousedních komorách vyrovnanají:

$$\frac{W(C \rightarrow C')}{W(C' \rightarrow C)} = e^{-\beta(\varepsilon_{C'} - \varepsilon_C)}$$

Předchozí vztah neurčuje jednoznačnost, ale dává podmínky pro Gibbsovu rovnováhu.

Souborové středování - od začátku počítám s pravděpodobnostmi

Časové středování - počet pokusů / počet úspěchů

Každá komůrka má hodnotu X_i . Chci rovnovážnou hodnotu $X_i \rightarrow$ sečtu a dělím počtem kroků

2.11.2. Metropolis algoritmus

Myš v komoře c , uvažujeme, že půjde do c' :

$$\begin{cases} E_c > E_{c'} & \text{krok uskutečníme } (p = 1) \\ & W(c \rightarrow c') = 1 \\ E_{c'} \geq E_c & \text{přesuneme se s pravděpodobností} \\ & e^{-\beta(E_{c'} - E_c)} \end{cases}$$

→ splňuje podmínky detailní rovnováhy

	$E_c > E_{c'} \quad E_c \leq E_{c'}$
$W(c \rightarrow c')$	$p_c^{eq} W(c \rightarrow c')$
$p_c^{eq} W(c \rightarrow c')$	$W(c' \rightarrow c)$
$W(c' \rightarrow c)$	$p_{c'}^{eq} W(c' \rightarrow c)$

Pokud se rovná 2. a 4. řádek → splněna podmínka detailní rovnováhy

Markovovo pravidlo - budoucí krok je zcela nezávislý na minulosti

Vnitřní energie → také jde do rovnováhy

$$U(n) = \sum_{i=1}^9 \varepsilon_i p_i(u) \quad n - \text{čas}$$

Entropie → s počtem kroků roste - nabývá maxima

$$S(n) = -k_B \sum_i p_i(n) \ln p_i(n)$$

Př.: rovnovážná vbitřní energie je 1J, vypočtěte rovnovážnou entropii, rovnovážné fundamentální obsazení pravděpodobnostního stavu, představa termodynamické relace.

2.12. Ehrenfestův model

Máme klobouk, v něm jsou čísla 1 až $2R$. Máme 2 nádoby s koulemi (rozlišitelné, očíslované), koulí je $2R$. Na začátku jsou všechny koule např. vpravo. Kroky:

vylovím číslo z klobouku, číslo pamatuji a vrátím do klobouku

najdu kouli s číslem z klobouku a dám ji do vedlejší nádoby (pohyb koulí sem a tam)

$$N(k) = \frac{N_p(k) - N_2(k)}{2}$$

→ zavedu si $\frac{1}{2}$ rozdílu počtu koulí vpravo a vlevo (makroskopická proměnná)

$N(k)$ klesá a potom osciluje kolem 0
počet mikrostavů je 2^{2R}

střední hodnota $N(k)$ konverguje k 0 jako geometrická řada; k udává časový průběh
 $N(k)$ nabývá hodnot $R, R-1, \dots, -R+1, -R \rightarrow 2R$ stavů

$$p(k) = [p_R(k) \dots p_{-R}(k)]$$

$$\langle N(k) \rangle = \sum_{i=R}^{-R} i p_i(k) = \sigma(k)$$

kde $\sigma(k)$ je označení čísla → makroskopický pohled

$$\sigma(k) = R \left(1 - \frac{1}{R} \right)^k$$

$k = 0, 1, \dots$, relaxace k rovnováze Mikroskopický pohled - časový vývoj pravděpodobnosti

Množina realizací - statistika

Nedojde k návratu počátečních podmínek (mám teplý čaj, už se mi na stole znova neohřeje)

Reverzibilita má velmi malou pravděpodobnost - z mikroskopického hlediska - strašně dlouhá doba potřebná k návratu (delší než je stáří vesmíru)

2.13. Langevinova rovnice

Koule v kapalině s rychlostí v → časem se zastaví (zezadu do ní narází méně částic než zepředu)
Makroskopický pohled:

$$M \frac{d}{dt} v(t) = -\gamma v(t) \quad (77)$$

γ je makroskopická veličina, vystihuje dění mikrosvěta, koeficient tření

$$\gamma = 6\pi\eta a$$

$$v(t) = v_0 e^{\frac{-\gamma}{m}t}$$

mikroskopický pohled - $v(t)$ je fluktuující křivka, osciluje kolem 0 (předávání impulsů)
rovnice pro všechny částice - ty pak parciálně nějaké odstraní, nebo \sum nahradím \int
mezoskopický popis - částice nepopisuji už jednotlivě hamiltoniánem
přibírám sílu $F(t)$ - šum (fluktuuje)

$$M \frac{d}{dt} V(t) = -\gamma V(t) + F(t) \quad (78)$$

Langevinova rovnice → pak také $V(t)$ musí fluktuovat
makroskopicky $v(t) = \langle V(t) \rangle$

3. Praktická termodynamika

3.1. Diskuse základních pojmu

1. postulát Každý makroskopický systém bez vnějších zásahů dojde do rovnováhy, ve které zůstane.

relaxační doba - čas, za jaký dojde systém do rovnováhy vymezuje použití termodynamiky - např. neplatí v mikrosystému, živé organismy

2. postulát (zavedení empirické teploty) Vlastnost být v rovnováze je ekvivalence na množině termodynamických systémů.

Teplená výměna mezi systémy A, B. Rovnováha systému $A+B \rightarrow$ makroskopické veličiny už nezávisí na čase, nedochází k časově nezávislým tokům **teplo** - souhrn mikroskopických aktů předávání energie (může probíhat oběma směry) mezi systémy → typ změny vnitřní energie

empirická teplota - odkud jde teplo, to je teplejší 2 systémy v rovnováze - stejná teplota

Důkaz ekvivalence:

$A \approx B$ (rovnováha) - symetrická relace

$A \approx A$ - reflexivní relace

$A \approx B \& B \approx C \Rightarrow A \approx C$ (rovnováha) - tranzitivní relace

V rovnováze je stav systému popsán mechanickými parametry + 1 navíc (empirická teplota)

Existuje funkce $\theta = \theta(p, V)$, která je společná pro všechny rovnovážné stavы.

Druhý postulát implikuje empirickou teplotu. Můžu seřadit všechny systémy podle teploty, ale empirická teplota nemá kvalitativní charakter.

Označení: θ empirická teplota, T absolutní teplota

V rovnováze jsou vnitřní parametry (Y) zadány vnějšími parametry (X) a teplotou T .

$$Y = Y(X, T)$$

Vnější parametry - vstupují do H , poloha, objem, ...

Vnitřní parametry - dány vlastnostmi daného systému, středování, např. vnitřní energie $U = U(X, T)$ - kalorická stavová rovnice

Práce konaná systémem \oplus , systém přijímá teplo \oplus .
Teplo a práce nejsou stavové veličiny, závisí na procesu (jde o proces, změnu stavu).

Stavové rovnice platí pouze v rovnováze!
Pouze pro rovnovážný proces. Přechod mezi rovnovážnými stavý

- **rovnovážný děj** - můžu nakreslit čáru v diagramu

- **nerovnovážný děj** - čára nemá smysl

p, V diagram \rightarrow práce

T, SV diagram \rightarrow teplo

Práci můžu lehce určit i při nerovnovážném ději - nepozoruj systém, ale vnější změny.

Bazén s vodou \rightarrow objem se mění; přítok, odtok, prší, vypařuje se; zabezpečí vypařování a pršení, souhlasí přítok a odtok (práce je stavová veličina pouze za těchto podmínek!!!)

podobně: zavřu přítok a odtok \rightarrow teplo stavová veličina

Pohyblivá stěna, adiabaticky izolovaný systém velmi pomalý pohyb - nevznikají víry
vodorovná hladina - jaká je práce? Jde o maximální práci - úbytek potenciální energie vody
při rychlém (nevratném) ději - za stěnou nižší hladina vody než dál \rightarrow menší hydrostatický tlak \rightarrow menší práce
změna vnitřní energie (stavová veličina) je různá - koncové stavy nejsou stejné (různá teplota)

3.2. Gibbsův paradox

Máme 2 nádoby se stejným plymem p, V, T, n
Měrná kapacita na 1 mol:

$$c_V = \frac{C_V}{n}$$

Předpokládám $S_0(n) = 0$

$$S_1 = n(c_V \ln T + R \ln V)$$

$$S_2 = n(c_V \ln T + R \ln V)$$

celková entropie $S_{12} = 2n(c_V \ln T + R \ln V)$

V případě odstranění přepážky

$$S^{12} = 2n(c_V \ln T + R \ln 2V)$$

$p, 2V, T, 2n$: $\Delta S = 2nR \ln 2 \rightarrow$ přitom se nic fyzikálně nestalo

pokud mám 2 různé plyny - správně

Směšovací entropie

$$\Delta S = 2nR \ln 2 \quad (79)$$

V případě stejných plynů chyba v zanedbání konst. S_0 .

3.3. Termodynamické potenciály

- U - vnitřní energie

- H - entalpie

- F - volná energie

- G - Gibbsův potenciál

Stavové veličiny (mají totální diferenciál), jsou aditivní, důležité při určování podmínek rovnováhy - hledám extrém daného potenciálu

F - důležité ve statistické fyzice

G - důležité pro otevřené systémy (mění se počet částic), změny skupenství

přirozené proměnné:

- $U(S, V) \rightarrow$ kompletní informace o systému
- $H(p, S)$
- $F(V, p)$
- $G(T, p)$

$$dU = TdS - pdV \rightarrow U(S, V) \quad (80)$$

- $p = \text{konst.} :$

$$TdS = dU + pdV + Vdp = d(U + pV) = dH$$

- $p \neq \text{konst.} :$

$$TdS = dH - Vdp \Rightarrow dH = \dots \rightarrow H(S, p)$$

$$dH = TdS + Vdp \quad (81)$$

$$dF = -SdT - pdV \quad (82)$$

$$dG = Vdp - SdT \quad (83)$$

$$dH = TdS + Vdp$$

$$\left(\frac{\partial T}{\partial p} \right)_S = \left(\frac{\partial V}{\partial S} \right)_p$$

Cauchyho podmínky \rightarrow **Maxwellovy vztahy** (z dU, dH, dF, dG)

$$T = \left(\frac{\partial H}{\partial S} \right)_p$$

$$V = \left(\frac{\partial H}{\partial p} \right)_S$$

$$C_V = \left(\frac{\partial U}{\partial T} \right)_V = T \left(\frac{\partial S}{\partial T} \right)_V$$

$$C_p = \left(\frac{\partial H}{\partial T} \right)_p = T \left(\frac{\partial S}{\partial T} \right)_p$$

$$\left(\frac{\partial U}{\partial T} \right)_p = C_p - p \left(\frac{\partial V}{\partial T} \right)_p = T \left(\frac{\partial S}{\partial T} \right)_p - p \left(\frac{\partial V}{\partial T} \right)_p$$

$$\left(\frac{\partial C_p}{\partial p} \right)_T = -T \left(\frac{\partial^2 V}{\partial T^2} \right)_p$$

$$F = U + T \left(\frac{\partial F}{\partial T} \right)_V$$

$$G = H + T \left(\frac{\partial G}{\partial T} \right)_p$$

3.4. Druhá věta termodynamická

3.4.1. Formulace druhé věty termodynamické

- Carnotův cyklus:** cyklický, rovnovážný proces
- 1] Vratná izotermická expanze
 U se nemění u id. plynu, obecně ne
 - 2] Adiobatická expanze
 - 3] Vratná izotermická komprese
 - 4] Adiabatická komprese

$TdS = dQ =$ plocha pod křivkou; U rostoucí funkce T

Máme diferenciální rovnici

$$f(x, y, z)dx + g(x, y, z)dy + h(x, y, z)dz = 0.$$

Konstrukce potenciálu možná pouze pokud existuje integrační faktor (ve 2 proměnných má vždy, pro 3 proměnné: holonomní (mají int. faktor) \times anholonomní (nemají int. faktor))

Pokud $dQ = 0 \Rightarrow$ adiabatický proces

Caratheodoryho formulace: Přírůstek tepla pro fyzikální systém, pak musí být forma holonomní.

Integrační faktor je absolutní teplota.

Clausiova formulace Teplo nemůže samovolně přecházet ze soustavy o teplotě T' do soustavy o teplotě T , kde $T > T'$.

Thomsonova formulace Nelze transformovat $W \leftarrow Q$ pouze tím, že by docházelo k ochlazování tělesa

Carnotova formulace Nejvyšší možná účinnost tepelného stroje je určena výhradně teplotami T_1 a T_2 a není závislá na látkové výplni, uspořádání soustavy, povaze probíhajících dějů. Tuto nejvyšší účinnost má soustava pracující vratně. redukovaná tepla jsou stejná - nezávisle při jaké teplotě je izoterna vedena zavedení entropie obecný vratný cyklický proces redukovaná tepla

$$\oint \frac{dQ}{T} = 0 \quad (84)$$

$$dQ_{\text{adiabata}} = 0$$

dQ izoterna, vedlejší izoterna $-dQ \rightarrow$ sečte se na nulu

Při libovolném rovnovážném procesu je součet redukovaných tepel nula. Nová stavová funkce **entropie** - při přechodu z bodu 1 do bodu 2 je rozdíl

entropií stálý (při rovnovážném i nerovnovážném ději stavová funkce) - při rovnovážném ději

$$S = \oint_1^2 \frac{dQ}{T}, \quad (85)$$

při rovnovážném ději to neplatí.
Totální diferenciál

$$dS = \frac{dQ}{T}, \quad (86)$$

kde $1/T$ je integrační faktor pro dQ .

$$dQ = dU + \sum_{i=1}^n A_i da_i$$

je holonomní Pfaffova forma.

Caratheodóry: Následující podmínky jsou ekvivalentní:

- dQ je holonomní
- v libovolném okolí libovolného bodu existují adiabaticky nedosažitelné stavy (fyzikálně zaručeno)
→ V libovolném okolí libovolného stavu termodynamického systému existují adiabaticky nedosažitelné stavy.

3.4.2. Konstrukce absolutní teploty

$U = U(p, V)$ - znám tu závislost (adiabaticky přechází mezi stavy, měřím práci)

$\theta = \theta(p, V)$ - empirická teplota - charakteristika pro daný systém primitivní specifikace TD systému - závislosti U a θ vypočítat libovolnou stavovou veličinu na základě znalosti U a θ nemusí být jednoznačné

absolutní teplota $T(\theta)$ - nezávisí na roztažnosti apod., nepoznávám pomocí tepelné výměny, stejná pro všechny systémy, zavedení přes Carnotův cyklus - účinnost závisí pouze na teplotách rezervoárů (ne na náplni)

pro ideální plyn $T(\theta) = C\theta$, $C = \text{konst.}$

termální záření - empirickou teplotu měřím tlakem $\psi = p \rightarrow T(\psi) = \sqrt[4]{\psi}$

$T(\theta) = f(\theta) \rightarrow U = U(T, V)$ (kalorická stavová rovnice), $p = p(T, V)$ (termická stavová rovnice)

entropie - spojím body 1 a 2 vratným dějem

$$S_2 - S_1 = \int_1^2 \frac{dQ}{T} = \int_1^2 \frac{dU + pdV}{T}$$

nevratná adiabatická expanze

$$S_2 - S_1 = nR \ln \frac{V_2}{V'}$$

- entropie stoupá
adiabatický + izotermický děj nevratná adiabatická komprese

$$S_2 - S_1 = nR \ln \frac{V_2}{V_1}$$

- entropie opět stoupá
adiabatický + izotermický děj

• **Pro vratné procesy** - existuje stavová veličina S , dá se určit $\oint \frac{dQ}{T}$

• **Pro nevratné procesy** - existuje stavová funkce entropie, už ji neurčuje $\int \frac{dQ}{T}$, entropie při nevratných dějích vždy roste.

Clausiův vztah

$$dS \geq \frac{dQ}{T} \quad (87)$$

rovnost platí pro vratné děje

$$S_2 - S_1 \geq \int_1^2 \frac{dQ}{T} \quad (88)$$

$T \dots$ u nevratných dějů teplota rezervoáru (v systému ani nemusí teplota existovat)

$dQ = dU + dW \dots$ 1. věta TD - platí pro vratné i nevratné děje

$dW = pdV$ obecně neplatí, pouze při vratném ději
 $dQ = TdS$ pouze pro vratné děje

$dQ = dU + pdV$ pouze pro vratné děje

$TdS = dU + pdV$ správná rovnice pro vratné i nevratné děje, nevyskytuje se to veličiny vztahující se k průběhu, pouze stavové veličiny

$TdS - dQ = pdV - dW$ odečtu 1. rci od předchozí → správná obecně

$TdS > dQ$ nevratný děj → $pdV - dQ > 0$ (tedy $dW < pdV$) → maximalizace práce - vratný děj

3.5. Redukce k přirozeným proměnným

U, S, T, V, p - znám 2 hodnoty veličin pro bod - dopočtu číselně ostatní

$U(T, V) \rightarrow$ získám z toho i ostatní závislosti

$U(S, V)$ základní termodynamický relace → umožňuje konstrukci všech ostatních závislostí (úplná TD informace)

Mechanický problém - parabolický potenciál

$$V(x, y) = \frac{1}{2}k(x^2 + y^2)$$

$$F_x(x, y) = -\frac{\partial V(x, y)}{\partial x} = -kx$$

$$F_y(x, y) = -\frac{\partial V(x, y)}{\partial y}$$

V, x, y je mechanická analogie U, S, V
 $U(S, V) \rightarrow$ mám tam přirozené proměnné

$$dU = TdS - pdV$$

$$F_x = T = \frac{\partial U(S, V)}{\partial S} = T(S, V)$$

ostatní dostanu vyloučením proměnných

$$F_y = p = -\frac{\partial U(S, V)}{\partial V} = p(S, V)$$

mechanika: stav systému chci charakterizovat $V(F_x, y)$:

$$V(F_x, y) = \frac{1}{2}k \left[\left(\frac{F_x}{k} \right)^2 + y^2 \right]$$

Ztratila se tímto nějaká informace? ano.

$$V(F_x(x, y), y) = \frac{1}{2}k \left[-\frac{\partial V(x, y)}{\partial x} \right]^2 + \frac{1}{2}ky^2$$

nutno chápout jako diferenciální rovnici. Její řešení je $V(x, y)$.

Pro potenciál tvaru

$$V(x, y) = \frac{1}{2}k[x - \varphi(y)]^2 + y^2\varphi$$

dostanu tu samou diferenciální rovnici.
 $V(F_x, y)$ nepřirozené proměnné.

Př.: $U(S, V) = V^{1-\delta} e^{\frac{\gamma-1}{R}S} + KS$,
kde $R, S, K, \gamma = \text{konst.}$, určete úplnou TD informaci

3.6. U -formulace

přirozené proměnné S, V
vnitřní energii chápou jako fce S, V : $U(S, V)$

U_S, U_V značí parciální derivace

U_{SS}, U_{SV}, U_{VV} značí 2. parciální derivace (záměnnost)
pro ostatní parciální derivace použijí zápis $(\frac{\partial A}{\partial B})_C$,
kde A, B, C je libovolná trojice z 5 stavových veličin,
popisující vlastnosti systému

$\left(\frac{\partial A}{\partial B} \right)_X$ systém preferovaných proměnných

$\left(\frac{\partial A(B, C)}{\partial B} \right)_X \rightarrow$ problém: pokud chci udržet konstantní X , musím měnit B, C

$$\left(\frac{\partial A}{\partial B} \right)_C : \begin{aligned} A &= A(S, V) \\ B &= B(S, V) \\ C &= C(S, V) \end{aligned}$$

$\mathcal{S}_0 = (S_0, V_0)$ počáteční podmínky

Derivace ve směru:

$$\lim_{(dS)_C} \frac{A(S_0 + (dS)_C, V_0 + (dV)_C) - A(S_0, V_0)}{B(S_0 + (dS)_C, V_0 + (dV)_C) - B(S_0, V_0)} \quad (89)$$

3.7. Technika výpočtu derivací

- 1) Všechny veličiny vyjádřím v U formulaci

$$A(S, V), \quad B(S, V), \quad C(S, V)$$

$$dA = a_1 dS + a_2 dV, \quad \text{kde } a_1 = \frac{\partial A}{\partial S} \text{ atd.}$$

$$dB = b_1 dS + b_2 dV$$

$$dC = c_1 dS + c_2 dV$$

- 2) Uplatním $C = \text{konst.}$: $dC = 0$

$$(dA)_C = a_1 (dS)_C + a_2 (dV)_C$$

$$(dB)_C = b_1 (dS)_C + b_2 (dV)_C$$

$$0 = c_1 (dS)_C + c_2 (dV)_C$$

$$(dS)_C = -\frac{c_2}{c_1} (dV)_C$$

- 3)

$$\begin{aligned} \frac{(dA)_C}{(dB)_C} &= \frac{\left(-a_1 \frac{c_2}{c_1} + a_2\right) (dV)_C}{\left(-b_1 \frac{c_2}{c_1} + b_2\right) (dV)_C} = \frac{-a_1 c_2 + a_2 c_1}{-b_1 c_2 + b_2 c_1} \\ \frac{(dA)_C}{(dB)_C} &= \frac{-a_1 c_2 + a_2 c_1}{-b_1 c_2 + b_2 c_1} \end{aligned} \quad (90)$$

Př.:

$$\begin{aligned} \left. \left(\frac{\partial p}{\partial T} \right)_U \right|_{U-\text{formulace}} &= \frac{U_{SV} U_V - U_{VV} U_S}{U_{SV} U_S - U_{SS} U_V} \\ \left. \left(\frac{\partial p}{\partial T} \right)_V \right|_{U-\text{formulace}} &= -\frac{U_{SV}}{U_{SS}} \\ \left. \left(\frac{\partial U}{\partial V} \right)_T \right|_{U-\text{formulace}} &= U_V - U_S \frac{U_{SV}}{U_{SS}} \end{aligned}$$

Důležitá třída → **termodynamické koeficienty**

$$\{A, B, C\} = \{S, V, p, T\}$$

Tedy výraz $\left(\frac{\partial A}{\partial B}\right)_C$ představuje 24 koeficientů. Ale: $\left(\frac{\partial A}{\partial B}\right)_C$ a $\left(\frac{\partial B}{\partial A}\right)_C$ jsou jen převrácené hodnoty, tedy koeficientů stačí pouze 12:

Vyjádřete v U-formulaci:	$\left(\frac{\partial V}{\partial p}\right)_T$	$\left(\frac{\partial p}{\partial T}\right)_V$	$\left(\frac{\partial T}{\partial V}\right)_p$
	$\left(\frac{\partial S}{\partial T}\right)_V$	$\left(\frac{\partial T}{\partial V}\right)_S$	$\left(\frac{\partial V}{\partial S}\right)_T$
	$\left(\frac{\partial S}{\partial T}\right)_p$	$\left(\frac{\partial T}{\partial p}\right)_S$	$\left(\frac{\partial p}{\partial S}\right)_T$
	$\left(\frac{\partial V}{\partial p}\right)_S$	$\left(\frac{\partial p}{\partial S}\right)_V$	$\left(\frac{\partial S}{\partial V}\right)_p$

(91)

[ht]

Pokud $S = \text{konst.} \Rightarrow$ adiabatický děj (vratné děje)
izobarický teplotní koeficient objemové roztažnosti

$$\alpha_p = \frac{1}{V} \left(\frac{\partial V}{\partial T} \right)_p \quad (92)$$

$$\alpha_p = \alpha_p(S, V)$$

$$\alpha_S = \frac{1}{V} \left(\frac{\partial V}{\partial T} \right)_S \quad (93)$$

3.8. Termodynamické identity

Každá informace o TD systému představuje podmínu pro $U(S, V)$:

$$\left(\frac{\partial A}{\partial B} \right)_C = \Psi \left[\left(\frac{\partial \tilde{A}}{\partial \tilde{B}} \right)_{\tilde{C}} \right] \quad (94)$$

Toto zjistíme experimentálně, pokud obě vlastnosti vyjádříme v U -formulaci:

→ 1) dostanu identitu (rovnost platná pro libovolný systém)

příklad TD identity: **rovnice 90% TD**

→ 2) dostanu diferenciální rovnici pro U

→ 3) získám rozporuplný vztah → chyba experimentátora - neexistuje systém, kde to platilo

Př.: Dokažte TD identitu

$$\left(\frac{\partial U}{\partial V} \right)_p = T \left(\frac{\partial p}{\partial T} \right)_S - p \quad (95)$$

Vyjádříme v U -formulaci - přenecháno jako cvičení pro čtenáře.

Konstantní tlak - volný píst zatížený závažím.

Př.: **Pravidlo -1** - viz (29) - důkaz: vyjádření v U -formulaci

TABULKA 1
TERMDODYNAMICKÉ KOEFICIENTY V U -FORMULACI

$\left(\frac{\partial V}{\partial p}\right)_T = \frac{U_{SS}}{U_{SV}^2 - U_{SS}U_{VV}}$	$\left(\frac{\partial p}{\partial T}\right)_V = -\frac{U_{SV}}{U_{SS}}$	$\left(\frac{\partial T}{\partial V}\right)_p = -\frac{U_{SS}U_{VV} - U_{SV}^2}{U_{SV}}$
$\left(\frac{\partial S}{\partial T}\right)_V = \frac{1}{U_{SS}}$	$\left(\frac{\partial T}{\partial V}\right)_S = U_{SV}$	$\left(\frac{\partial V}{\partial S}\right)_T = -\frac{U_{SS}}{U_{SV}}$
$\left(\frac{\partial S}{\partial T}\right)_p = \frac{U_{VV}}{U_{SS}U_{VV} - U_{SV}^2}$	$\left(\frac{\partial T}{\partial p}\right)_S = -\frac{U_{SV}}{U_{VV}}$	$\left(\frac{\partial p}{\partial S}\right)_T = \frac{U_{SS}U_{VV} - U_{SV}^2}{U_{SV}}$
$\left(\frac{\partial V}{\partial p}\right)_S = -\frac{1}{U_{VV}}$	$\left(\frac{\partial p}{\partial S}\right)_V = -U_{SV}$	$\left(\frac{\partial S}{\partial V}\right)_p = -\frac{U_{VV}}{U_{SV}}$

3.9. Modifikované termodynamické koeficienty

Teplotní součinitel objemové roztažnosti

$$\alpha_p = \frac{1}{V} \left(\frac{\partial V}{\partial T} \right)_p, \quad \alpha_S \quad (96)$$

- v U -formulaci pouze 2. parciální derivace, závislost na V . Pokud v $\left(\frac{\partial A}{\partial B}\right)_C$ není $U \rightarrow$ dostanu jen 2. derivace.

Teplotní součinitel rozpínavosti

$$\beta_V = \frac{1}{p} \left(\frac{\partial p}{\partial T} \right)_V, \quad \beta_S \quad (97)$$

Součinitel stlačitelnosti

$$\kappa_T = -\frac{1}{V} \left(\frac{\partial V}{\partial p} \right)_T, \quad \kappa_S \quad (98)$$

Měrná tepla

$$C_V = T \left(\frac{\partial S}{\partial T} \right)_V \quad (99)$$

$$C_p = T \left(\frac{\partial S}{\partial T} \right)_p \quad (100)$$

Teplo při změně tlaku (latentní teplo)

$$\left(\frac{\partial Q}{\partial p} \right)_V = T \left(\frac{\partial S}{\partial p} \right)_V \quad (101)$$

$$\left(\frac{\partial Q}{\partial p} \right)_T = T \left(\frac{\partial S}{\partial p} \right)_T \quad (102)$$

Obecný vztah (103) upravíme do U -formulace

$$\left(\frac{\partial A}{\partial B} \right)_C = \Phi \left[\left(\frac{\partial x}{\partial y} \right)_z \right] \quad (103)$$

a získáme

- 1) vztah tvaru identity (např. rovnice 90%)
- 2) diferenciální rovnice pro $U(S, V)$ - konkrétní tvar U daného systému
- 3) neplatný vztah - chyba experimentátora

3.10. Integrace stavových rovnic

Máme dvě experimentální závislosti:

• $U = 3g = fX$, kde $f \dots p$ a $x \dots V$

• $\theta(T) = f \dots$ empirická teplota

→ chceme zkonstruovat $U(S, X)$

- 1) zápis experimentální závislosti v U -formulaci

$$U = -3U_X \cdot X = -3XU_X$$

tato rovnice U dostatečně neurčuje, konstrukce závislá na proměnné S)

$$\theta U_S = -U_X$$

2 rovnice už můžou U přeurčit - pak nemá úkol řešení

- 2) řešíme rovnice

$$\frac{U_X}{U} = -\frac{1}{3X} \Rightarrow \ln U = -\frac{1}{3} \ln X + \xi(S)$$

$$U(S, X) = X^{-\frac{1}{3}} \eta(S)$$

- 3)

$$U_X = -\frac{1}{3}x^{-\frac{4}{3}}\eta(S)$$

$$U_S = x^{-\frac{1}{3}}\eta'(S)$$

$$\frac{1}{3}x^{-\frac{4}{3}}\eta(S) = \theta\left(x^{-\frac{1}{3}}\eta(S)\right) \rightarrow$$

$$\theta(y) \sim y^4$$

ne každá funkce θ řeší náš problém

- 4) $f = \sigma T^4$

pro $\theta(T)$:

$$\frac{1}{3}x^{-\frac{4}{3}}\eta(S) = \sigma x^{-\frac{4}{3}}[\eta'(S)]^4$$

Nechť $T = x^{-\frac{1}{3}}[\eta'(S)] \rightarrow$ řešení diferenciální rovnice

$$\frac{4}{3}\eta^{\frac{4}{3}} = \frac{1}{3\sigma^{\frac{1}{4}}}(S - S_0)$$

- 5)

$$U(S, X) = 3 \cdot 4^{-\frac{4}{3}}\sigma^{-\frac{1}{3}}(S - S_0)^{\frac{4}{3}}$$

Př.:

$$U = 3fX, \quad \theta = Af + BX$$

\Rightarrow nelze splnit stavové rovnice \rightarrow empirická teplota nemůže mít tento tvar

Řešením $U = 3fX$ dostat nejobecnější tvar θ .

3.11. Termodynamické potenciály II

3.11.1. Volná energie F

$$dU = TdS - pdV$$

$$d(\underbrace{TS}_{\text{stavová funkce}}) = TdS + SdT$$

odečtu:

$$d(U - TS) = -pdV - SdT, \quad (104)$$

kde $F = U - TS$ je **volná energie** (funkce práce, Helmholtzova volná energie)

F je stavová funkce

$$dF = -SdT - pdV \quad (105)$$

Stavová funkce - systém přejde ze stavu 1 do stavu 2 - rozdíl stavové funkce závisí jen na počáteční a koncové hodnotě, nezávisí na způsobu přechodu
Přirozené proměnné: $F(T, V)$:

$$dF(T, V) = -S(T, V)dT - p(T, V)dV$$

3.12. F -formulace

Znalost $F(T, V)$ znamená úplnou termodynamickou znalost

$$F, F_T = -S, F_V = -p, T, V$$

$$\left(\frac{\partial A}{\partial B}\right)_C$$

termodynamické identity - lze dokazovat v F -formulaci
identita

$$\left(\frac{\partial U}{\partial V}\right)_p = T \left(\frac{\partial p}{\partial T}\right)_S - p \quad (106)$$

$$U = F + TS$$

$$dU = dF + T \underbrace{dS}_{-F_{TV} - F_{TT}} + S \underbrace{dT}_{-F_T} \rightarrow$$

$$U(T, V) = F(T, V) + TS(T, V)$$

dostanu U v jiných proměnných, nahrazením $T = U_S$ lze získat $U(S, V)$

$$dF = -SdT - pdV$$

\rightarrow při izotermických dějích - práce stavovou funkcí
Při **rovnovážných izotermických dějích** úbytek volné energie je vykonaná práce

$$-(F_B - F_A) = (W_{A \rightarrow B}|_{\text{izotermický, reverzibilní}} \quad (107)$$

Nevratný děj - vykonaná práce je menší než úbytek F při izotermickém ději

$$-(F_B - F_A) > (W_{A \rightarrow B}|_{\text{izotermický, nevratný}} \quad (108)$$

Při izotermickém ději se nejvíce práce vykonává, pokud děj je vratný.

Jiné zavedení F : definuji

$$F(S, V) \equiv U(S, V) - S \frac{\partial U(S, V)}{\partial S} \quad (109)$$

$$\text{Jelikož } T = \frac{\partial U(S, V)}{\partial S} \Rightarrow S(T, V)$$

$$F(S(T, V), V) = U(S(T, V), V) - S(T, V) \underbrace{\frac{\partial U(S, V)}{\partial S}}_{\underbrace{T(S, V)}_{T}} \Big|_{S(T, V)}$$

$$F(T, V) = U(T, V) - S(T, V)T$$

Lemma: dokažte

$$\frac{\partial F(T, V)}{\partial T} = -S(T, V) \quad (110)$$

$$\frac{\partial F(T, V)}{\partial V} = \left. \frac{\partial U(S, V)}{\partial V} \right|_{S=S(T, V)} \quad (111)$$

Geometrický význam: **Legendrova transformace**

Diagram $U(S)$

Pro $S = \frac{1}{2}$ zkonztruji tečnu → na ose U vytíná úsek délky $\frac{3}{4}$ → má význam S
směrnice tečny $\tan \alpha = T, T = 1$
můžu zadat buď S nebo směrnice T nebo F → jednoznačné úrčení stavu

Diagram $F(T)$
pro $T = 1$ je $F = \frac{3}{4}$

3.12.1. Vratná adiabatická expanze pro Wan der Waalsův plyn

$$W(1 \rightarrow 2) = -(F_2 - F_1) \stackrel{\text{vratný děj}}{=} \stackrel{\text{vratný děj}}{=} RT_R \ln \frac{V_2 - b}{V_1 - b} - a \left(\frac{1}{V_1} - \frac{1}{V_2} \right) > 0 \quad (112)$$

T_R značí teplotu rezervoáru

Izoterna W.d.V. plynu (derivace vždy < 0)

$$Q(1 \rightarrow 2) = RT_R \ln \frac{V_2 - b}{V_1 - b} > 0 \quad (113)$$

Soustava nasála víc tepla než vykonala práce, zbytek tepla způsobil zvýšení energie

expanze - částice dál od sebe (pružinky) → zvětšení U

$U_2 - U_1$ - teplo, co zůstalo systému

$F_2 - F_1$ - vykonaná práce

Př.: Vypočti S W.d.V. plynu:

$$S(T, V) = S_0 + C \ln T_R + R \ln(V - b)$$

entropie - nasáté teplo - při vratném ději

nevratné provedení: $\frac{dQ}{T} < dS$

Platí obecně pro izotermický děj (vratný i nevratný):

$$(114)$$

$$\begin{aligned} F_1 - F_2 &= (U_1 - T_1 S_1) - (U_2 - T_2 S_2) \\ &= U_1 - U_2 - T_R (S_1 - S_2) \\ &= W_{1 \rightarrow 2} - Q_{1 \rightarrow 2} - T_R (S_1 - S_2) \end{aligned}$$

$$W_{1 \rightarrow 2} = F_1 - F_2 + \underbrace{[Q_{1 \rightarrow 2} - T_R (S_2 - S_1)]}_{(*)} \quad (115)$$

Clausiova nerovnost

$$(*) \begin{cases} = 0 & \text{vratný děj} \\ < 0 & \text{nevratný děj} \end{cases}$$

Při vratném izotermickém ději je vykonána maximální práce.

Př.: Vypočtěte vykonanou práci při nevratné izotermické expanzi s ideálním plymem.

Nevratné provedení - jednu cihlu odstraním

$p_1, V_1 - 2$ cihly

skoková změna tlaku na p_2 → nerovnovážná expanze

rovnovážný děj

nerovnovážný děj → menší práce

popisek k budoucímu obrázku:

$$W_{irev} = nRT_R \left(1 - \frac{V_1}{V_2} \right) > 0 \quad (116)$$

$$W_{rev} = nRT_R \ln \left(\frac{V_2}{V_1} \right) > 0 \quad (117)$$

3.13. Termodynamické potenciály III

entalpie $H = U + pV$

Gibbsův potenciál - při izobaricko-izotermických procesech se nemění

Př.: Dokažte následující identitu ve všech 4 formulacích (U, F, H, G):

$$\frac{\kappa_S}{\kappa_T} = \frac{C_V}{C_p} \quad (118)$$

[ht]

3.14. Práce a teplo v magnetickém a elektrickém poli

Práce magnetického pole (paramagnetikum)

$$dQ = -H dM \quad (119)$$

Práce elektrického pole

$$dQ = -E dP \quad (120)$$

Teplo

$$dQ = dU + pdV$$

Teplo paramagnetického pole

$$dQ = dU - HdM \quad (121)$$

TABULKA 2
JINÉ TERMODYNAMICKÉ POTENCIÁLY

	Vnitřní energie U -formulace	Volná energie F -formulace	Entalpie H -formulace	Gibbsův potenciál G -formulace
Přirozené proměnné	S, V	T, V	S, p	T, p
Totální diferenciál	$dU = TdS - pdV$	$dF = -SdT - pdV$	$dH = TdS + Vdp$	$dG = -SdT + Vdp$
Parciální derivace	$T = U_S, p = -U_V$	$S = -F_T, p = -F_V$	$T = H_S, V = H_p$	
U	U	$U = F - TF_T$	$U = H - pH_p$	$U = G - G_T T - G_{pp}$
F	$F = U - SU_S$	F	$F = H - pH_p - SH_S$	$G - pG_p$
H	$H = U - VU_V$	$H = F - TF_T - VF_V$	H	$H = T - TG_T$
G	$G = U - SU_S - VU_V$	$G = F - VF_V$	$G = H - SH_S$	G

H, M jsou stavové proměnné
Pro ideální paramagnetikum platí

$$M = \alpha \frac{H}{T} \quad \dots \text{stavová rovnice} \quad (122)$$

$$C_p - C_V, C_H - C_M$$

Obecně: a, A , nechť $dW = Ada$

Rovnice 90%

$$\left(\frac{\partial U}{\partial a} \right)_T + A = T \left(\frac{\partial A}{\partial T} \right)_a \quad (123)$$

Rovnice adiabaty

$$\left(\frac{\partial T}{\partial A} \right)_a dA + \frac{C_A}{C_a} \left(\frac{\partial T}{\partial a} \right)_A da = 0 \quad (124)$$

$$C_A - C_a = \left[\left(\frac{\partial U}{\partial a} \right)_T + A \right] \left(\frac{\partial a}{\partial T} \right)_A \quad (125)$$

3.15. Otevřené systémy

Změna počtu částic o dN molů \rightarrow změna vnitřní energie o μdN , kde μ je **chemický potenciál**

$$dU = +TdS - pdV + \mu dN \quad (126)$$

$$dH = +TdS + Vdp + \mu dN \quad (127)$$

$$dF = +SdT - pdV + \mu dN \quad (128)$$

$$dG = -SdT + pdV + \mu dN \quad (129)$$

N značí počet molů. Z rovnice (129) plyne

$$\mu = \left(\frac{\partial G}{\partial N} \right)_{T,p} \quad (130)$$

Označme

$$u = \frac{U}{N}, \quad (131)$$

$$h = \frac{H}{N}, \quad (132)$$

$$f = \frac{F}{N}, \quad (133)$$

$$g = \frac{G}{N}. \quad (134)$$

Můžeme napsat

$$G(p, T, N) = N \cdot g(T, p),$$

neboť p, T jsou intenzivní veličiny (nezávisí na N)
 \Rightarrow

$$g = \left(\frac{\partial G}{\partial N} \right)_{T,p} \quad (135)$$

Tedy platí $g = \mu s$. Dále můžeme napsat

$$U = Nu(v, s), \quad \text{kde } v = \frac{V}{N} \text{ a } s = \frac{S}{N}$$

3.15.1. Chemický potenciál ideálního plynu

$$G = C_p T (1 - \ln T) + NRT \ln p - TS_0 + U_0 \quad (136)$$

Označme

$$\frac{C_p}{N} = c_p, \quad (137)$$

$$\frac{S_0}{N} = s_0, \quad (138)$$

$$\frac{U_0}{N} = u_0. \quad (139)$$

Potom

$$\mu = \frac{G}{N} = c_p T (1 - \ln T) + RT \ln p - Ts_0 + u_0 = \mu(T, p) \quad (140)$$

3.16. Podmínky Gibbsovy rovnováhy

Termodynamický potenciál G má přirozené proměnné konstanty $T, p = \text{konst.}$. V rovnováze platí $dG = 0$:

$$dG = \underbrace{\left(\frac{\partial G}{\partial T}\right)_p}_{=0} dT + \underbrace{\left(\frac{\partial G}{\partial p}\right)_T}_{=0} dp = 0$$

3.16.1. Dva systémy spojené pohyblivou přepážkou

Celý systém je charakterizován T, V . Platí $T, V = \text{konst.} \rightarrow$ uvažují potenciál s přirozenými proměnnými T, V . Podmínky rovnováhy ($dF = 0$)?

$$dF = -SdT - pdV$$

$$\begin{aligned} dT &= 0, & dT_1 = dT_2 &= 0 \\ dV &= 0, & dV_1 = -dV_2 \end{aligned}$$

V rovnováze:

$$dF = dF_1 + dF_2 = 0 :$$

$$-p_1 dV_1 - p_2 dV_2 = 0$$

Podmínka rovnováhy:

$$p_1 = p_2$$

3.16.2. Systém kapalina a její pára

Celý systém je charakterizován T, p . Platí $T, p = \text{konst.} \rightarrow$ uvažují potenciál s přirozenými proměnnými T, p .

$$dG = -SdT + Vdp + \mu dN$$

$$dT = 0, \quad dT_1 = dT_2 = 0, \quad dG_1 = \mu dN_1$$

$$dp = 0, \quad dp_1 = dp_2 = 0, \quad dG_2 = \mu dN_2$$

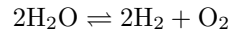
$$dN_1 = -dN_2$$

$$dG = dG_1 + dG_2$$

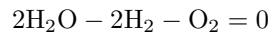
Podmínka rovnováhy:

$$\mu_1 = \mu_2$$

3.16.3. Podmínky rovnováhy pro chemickou rovnici



Rovnici převedeme do tvaru



$$\nu_{\text{H}_2\text{O}} = 2, \quad \nu_{\text{H}_2} = -2, \quad \nu_{\text{O}_2} = -2$$

Stupeň reakce - konstanta pro danou reakci:

$$\frac{dN_{\text{H}_2\text{O}}}{\nu_{\text{H}_2\text{O}}} = \frac{dN_{\text{H}_2}}{\nu_{\text{H}_2}} = \frac{dN_{\text{O}_2}}{\nu_{\text{O}_2}} = d\xi \quad (141)$$

Když $T, p = \text{konst.}$, jak vypadají podmínky rovnováhy?

$$dG = -SdT + Vdp + \mu dN$$

V rovnováze

$$dG = \mu dN = \sum_i \mu_i dN_i = 0$$

Substituce:

$$\begin{aligned} dN_i &= \nu_i d\xi & \Rightarrow & \sum_i \mu_i \nu_i d\xi = 0 \\ \sum_i \mu_i \nu_i &= 0 \end{aligned} \quad (142)$$

3.17. Entalpie, Joule-Thomsonův jev

Mám nádobu rozdelenou na dvě části (V_1, p_1 a V_2, p_2) pomocí propustné přepážky. Přetlačuji plyn, dostávám koncový stav V_2, p_2 . Lze takto snižovat teplotu?

$$\begin{aligned} Q &= 0 = U_2 - U_1 + p_2 V_2 - p_1 V_1 \Rightarrow \\ &\Rightarrow U_1 + p_1 V_1 = U_2 + p_2 V_2 \end{aligned}$$

Dostáváme **izoentalpický jev**:

$$H_1 = H_2$$

Mám soustavu p_1 a p_2 oddělenou uzavřeným kohoutem. Otevřu kohout a nastane nerovnovážný izoentalpický děj. Pro koeficient μ platí

$$\mu = \left(\frac{\partial T}{\partial p}\right)_H$$

Chci, aby docházelo ke snižování teploty $\Delta p < 0, \Delta T < 0 \Rightarrow \mu > 0$.

Metoda reprezentujících procesů - změny teploty a tlaku - rozdíl teplot a tlaků v rovnovážných stavech, je nám jedno, jakým způsobem jsme se tam dostali.

3.17.1. Reálný proces - nerovnovážný

adiabatický

$$dS > 0, \quad dS \neq \frac{dQ}{T}$$

$H = \text{konst.} \dots$ izoentalpicky

3.17.2. Reprezentující proces - rovnovážný

neadiabatický

$$dQ \neq 0, dS \neq 0, \quad dS = \frac{dQ}{T}$$

$H = \text{konst.} \dots$ izoentalpicky

3.18. Expanze do vakua

Snížená teplota (ne pro ideální plyn), jak se teplota mění? Děj nerovnovážný, adiabatický, $dS > 0, U = \text{konst.}$

Reprezentující proces - rovnovážný

$$dQ \neq 0$$

$$dS = \frac{dQ}{T}$$

$U = \text{konst.}$

Potřebujeme vyjádřit $(\frac{\partial T}{\partial V})_U$. Pro ideální plyn je tento koeficient roven nule (dokažte). Pro V.d.W. plyn - zvětšení V .

$$\left(\frac{\partial T}{\partial V} \right)_U = -\frac{a}{V^2 C_V}$$

Dokažte tuto identitu:

$$S = \frac{T}{\text{???}} \left[\frac{p}{T} - \left(\frac{\partial p}{\partial \text{??}} \right)_{\text{??}} \right] \quad (143)$$

3.19. Joule-Thomsonův jev

Křivka entalpie $H = \text{konst.}$ má v T, p diagramu maximum

my chceme $\Delta T < 0$

Izobary v T, S diagramu

přejdu z izobary p_1 na p_2 izoentalpicky - nasání tepla, zvýšení entropie

$$\begin{cases} \text{pokles teploty} & A_2 \rightarrow B_2 \\ \text{zvýšení teploty} & A_1 \rightarrow B_1 \end{cases}$$

Izobara = vlnka - u W.d.V. plynu nahrazujeme úsečkou

Izoentropa v p, V - vlnka se nahrazuje úsečkou (V.d.W. plyn)

3.20. Gibbsův potenciál

Změna objemu při fázovém přechodu:

$$\left(\frac{\partial G}{\partial p} \right)_T = \infty, \quad \frac{1}{\frac{\partial F}{\partial V}} = 0 \rightarrow$$

lineární spojení bodů $[F_l, V_l]$ a $[F_g, V_g]$
 $V(p), p$ diagram

$$V = \left(\frac{\partial G}{\partial p} \right)_T$$

→ derivací G v G, p diagramu $p(V), V$ diagram

$$p = - \left(\frac{\partial F}{\partial V} \right)_T$$

→ ze závislosti $F(T, V)$

Fázový přechod: $T_2 < T_C$

Fázové přechody 1. druhu - Gibbsův potenciál má v tomto bodě nespojitost 1. derivace podle p

Křivka koexistence - průsečík G_k kapaliny a G_p plynu. Koexistence 2 skupenství - $G_k = G_p$

trojný bod

kritický bod - koexistence plynu a kapaliny

Při teplotě T_p se zvyšuje tlak // Přechod z bodu A do bodu B - obejdou kritický bod, změna plynu na kapalinu

Musíme obejít kopec odpovídající měnící se teplotě T

Změna počtu částic - při chemických reakcích, fázové přechody

Sdílení veličin a počet částic - rozdělí se tak, aby byla entropie maximální (kapalina, plyn) → rovnost chemických potenciálů

Podmínka rovnováhy pro intenzivní veličiny T, p, μ :

- vyrovnaní teploty (tok tepla = různé teploty),
- vyrovnaní tlaku (různý tlak - tok objemu),
- vyrovnaní chemických potenciálů (různé chemické potenciály - tok částic)

Tok častic při difúzních procesech (příčina: nehomogenní chemické potenciály)

Fázový přechod obejím kritického bodu - spojitá změna vlastností kapaliny na plyn

Kritická izoterma → prodleva objemu vymizí (smrkne se do jednoho bodu)

Magnetizace - všechny spiny orientovány stejně - minimální energie, ale i minimální entropie, při $T = \text{konst.}$ musíme sledovat volnou energii $F \rightarrow$ spontánní magnetizace

3.21. Třetí věta termodynamická

Vratná izoterma při nulové teplotě je zároveň vratná adiabata.

Motivace - adiabatická komprese

Nulová izoterma = adiabata

Při vyšších teplotách vždy 1 průsečík izotermy a adiabaty

Adiabatická komprese - nárazy pístu a molekul - zvýšení střední kinetické energie molekul → zvýšení teploty

Při $T = 0$ molekuly stojí → nemůže vzrůstat teplota → izotermický děj

Nernstova klasifikace: Při $T \rightarrow 0+$ nezávisí entropie izotermických dějů na stavových parametrech

$$\lim_{T \rightarrow 0+} S(T, a_1, \dots, a'_n, a_{n+1}, \dots, a_N) - \\ - S(T, a_1, \dots, a''_n, a_{n+1}, \dots, a_N) = 0 \quad (144)$$

$$\lim_{T \rightarrow 0+} \left(\frac{\partial S(T, a)}{\partial a_n} \right)_{T, a_1, \dots, a_{n-1}, a_{n+1}, \dots, a_N} = 0 \quad (145)$$

Nedosažitelnost absolutní nuly teploty: Izochory se u $T \rightarrow 0$ svažují. Nemožnost procesu 1 → 2 (šlo by o $T = 0$).

Entropie S při $T = 0$ můžu přiřadit hodnotu 0. U nízkých teplot entropie přestává záviset na vnějších parametrech **Termické koeficienty**:

$$\lim_{T \rightarrow 0} \left(\frac{\partial S}{\partial a_i} \right)_T = \lim_{T \rightarrow 0} \left(\frac{\partial A_i}{\partial T} \right)_{a_i} = 0 \quad (146)$$

$$\lim_{T \rightarrow 0} \left(\frac{\partial S}{\partial A_i} \right)_T = - \lim_{T \rightarrow 0} \left(\frac{\partial a_i}{\partial T} \right)_{A_i} = 0 \quad (147)$$

3.22. Tepelná roztažnost

Interakce častic v látce

Středování kmitů v atomu - r_0 při nízké energii

Větší energie → větší rozkmit - středování $r > r_0$ potenciál nemá parabolický průběh

Nízká teplota - malé kmity - approximace parabolického potenciálu

Je dostatečné a vhodné → roztažnost vymízí

3.23. Tepelné kapacity

$$S_2 - S_1 = \int_1^2 \frac{dQ}{T} = \int_1^2 \frac{C_V}{T dT} + \int_1^2 \left(\frac{\partial p}{\partial T} \right)_V dV \quad (148)$$

$$S(T, V) = \int_0^T \frac{C_V(T, V)}{T} dT \quad (149)$$

$$S(T, p) = \int_0^T \frac{C_p(T, p)}{T} dT \quad (150)$$

v okolí 0: chci entropii v bodě 1

adiabata (při 0 zároveň izoterma) - neměním entropii - dojdu na p_1

izobarická expanze (tedy uz zvyšuje telotu)

Rovnice (149) - podmínky pro integraci integrandu → podmínky pro C_V u 0:

$$C_V \approx T^\nu, \quad \nu > 0 \Rightarrow \lim_{T \rightarrow 0+} C_V(T, V) = 0 \quad (151)$$

Dulong - Petit × Einstein

Rayleigh - Jeans × Planck (záření AČT)

špatný popis (nepřihlíží ke kvantovým vlastnostem,

$C_V \neq 0$ pro $T \rightarrow 0$)

elektronový plyn $C_V \sim T$

kmity krystalové mřížky $C_V \sim T^3$

3.24. Nerovnovážná termodynamika

Fázový přechod - rovnovážný děj

Nerovnovážná termodynamika - koeficient vodivosti

Gradienty teploty → toky tepla (nelineární závislost)

Gradient chemického potenciálu → tok hmoty

Gradient → tok

V prvním přiblžení předpokládáme lineární vztahy

$$j = D \operatorname{grad} \mu(X)$$

$$j(x, t) = \kappa \operatorname{grad} T(x, t)$$

4. Statistická fyzika

mikrostav - zadám souřadnice a hybnosti všech častic

Fázový prostor

• N -rozměrný prostor (q_i, p_i) pro N častic

• bodem ve fázovém prostoru zadám mikrostav

Obvykle nemám úplnou informaci

Cistý stav - znám bod ve fázovém prostoru

Smíšený stav - znám rozdělení pravděpodobnosti výskytu ρ , zobrazím jako obláček (různě husté tečky) ve fázovém prostoru nebo graf $\rho(p, q)$ relativní počty v určitých stavech × pravděpodobnost, že nějaký student má danou vlastnost

při velkém počtu pokusů se relativní četnosti shodují s pravděpodobností

$$\rho(p^*, q^*) dp dq =$$

$$= \operatorname{Prob} \{ Q \in (q^*, q^* + dq) \quad \& \quad P \in (p^*, p^* + dp) \} \quad (152)$$

ρ je **rozdělovací (distribuční funkce)** - rozměr $\frac{1}{(\text{m} \cdot \text{kg} \cdot \text{ms}^{-1})^{3N}}$

V kvantové mechanice: stav

- nejpodrobnější získatelná informace
 - paprsek v Hilbertově prostoru
- informace** - střední hodnoty při znalosti vlnové funkce
- smíšený stav** - s jistou pravděpodobností je systém v určitém čistém stavu **matice hustoty**

$$\hat{\rho} = \sum_{i=6}^N p_i |\psi_i\rangle\langle\psi_i| \quad (153)$$

reprezentuje kvantový systém

V klasické mechanice: chci znát E daného stavu

čistý stav: $E = H(p^*, q^*)$

smíšený stav - pravděpodobnostní středování

$$E = \int H(p, q) \rho(p, q) dp dq$$

$$U = \langle H \rangle = \int H(p, q) \rho(p, q) dp dq$$

neznáme $\rho(p, q)$ pro rovnovážný stav

$U(V)$ - kde se vzalo V - z integrace (bariéra V), případně v H

kvantová mechanika: $E = \langle \psi | H | \psi \rangle$ i v čistém stavu střední hodnota. Smíšený stav: $E = \pi(\hat{H}\hat{\rho})$

4.1. Časový vývoj

Newton, Lagrange, Hamilton, ...

Newton: $q(0) = q_0$, $p(0) = p_0$ počáteční podmínky spojitá křivka ve fázovém prostoru → trajektorie dvě fázové trajektorie se nemohou protínat (nejednoznačnost řešení)

smíšený stav - počáteční podmínky mají tvar obláčku

pohyb bodů tvořících obláček po svých fázových trajektoriích → změna tvaru obláčku, obsah obláčku se zachovává!!! (pohyb nestlačitelné tekutiny)

4.2. Liouvillův teorém

Distribuční funkce je konstantní podél fázové trajektorie:

$$\rho(q(t), p(t), t) : \frac{d\rho(q(t), p(t), t)}{dt} = 0 \quad (154)$$

Důkaz: počet bodů v dané oblasti (obláčku) se nemůže měnit

objem obláčku se nemůže měnit (objem fázového

prostoru se kanonickými transformacemi nemění)
→ nemění se hustota

$$\frac{d}{dt} \rho(q(t), p(t), t) = 0 :$$

$$\frac{\partial \rho}{\partial p} \cdot \frac{\partial p}{\partial t} + \frac{\partial \rho}{\partial q} \cdot \frac{\partial q}{\partial t} = 0,$$

za $\frac{\partial p}{\partial t}$, $\frac{\partial q}{\partial t}$ dosadíme z Hamiltonových kanonických rovnic

$$\{H(p, q), \rho(p, q, t)\} = \frac{\partial \rho}{\partial t}$$

$$\{H, \rho\} = -\operatorname{div}(\rho \vec{v}),$$

kde \vec{v} je rychlosť reprezentujícího bodu, $\vec{R} = [p, q]$, $\vec{v} = [\dot{p}, \dot{q}]$

$$\frac{\partial}{\partial t} \rho(p, q, t) = -\operatorname{div}_{p,q}(\rho \vec{v}),$$

což je rovnice pro hustotu nestlačitelné tekutiny.
Stacionární soubor je definován požadavkem $\frac{\partial \rho}{\partial t} = 0 \rightarrow$ střední hodnoty nezávisí explicitně na čase - reprezentují rovnovážné soubory

Příklady:

- 1) volná částice - deformace elipsy
- 2) dám tam překážku: $p \leftrightarrow -p$, časem se obláček rozplízne mezi p_1, p_2 a $-p_1, -p_2$
- 3) tření

$$\ddot{q} + \gamma \dot{q} = 0$$

$$q(t) = q_0 + \frac{p_0}{\gamma} \left[p e^{-\frac{\gamma}{m}t} \right]$$

$$p(t) = p_0 e^{-\frac{\gamma}{m}t}$$

neplatí Liouvilleův teorém (kvůli tření)

dk: Liouville: rovnoměrný pohyb → plocha se zachovává
přítomnost sil

$$\dot{p}(q) = F(q)$$

pohyb pouze ve vertikálním směru (Taylor)
obecný pohyb - složení předchozích dvou

Př.: volná částice

distribuční funkce tvaru

$$\sigma(p, q) = \frac{1}{Q} e^{-\beta \frac{p^2}{2m}} \theta \left(1 - \frac{4q^2}{s^2} \right)$$

ve směru p Gaussův klobouk

lokalizace pouze mezi $(-\frac{s}{2}, \frac{s}{2})$ ($\leftarrow \theta$ -funkce)
stacionární stav

středování: rozdělení q

$$\sigma(q) = \int_{\mathbb{R}} dp \sigma(p, q) = \frac{1}{s} \theta \left(1 - \frac{4q^2}{s^2} \right)$$

- homogenní

$$\sigma(q) = \int_{\mathbb{R}} dq \sigma(p, q) = \sqrt{\frac{\beta}{2\pi m}} e^{-\beta \frac{p^2}{2m}}$$

$$\langle q^{2n+1} \rangle = 0, \quad \langle p^{2n+1} \rangle = 0$$

$$\langle q^{2n} \rangle = \left(\frac{s}{2}\right)^{2n}, \quad \langle p^{2n} \rangle = \sqrt{\frac{\beta}{2\pi m}} \frac{(2n-1)!!}{2^n} \sqrt{\dots}$$

hustota přes energie? kde leží body, které mají energii v určitém pásečku - pásy p

$$\sigma(H) = \frac{2}{m} \cdot 4\pi \left(\frac{\beta m}{2\pi}\right)^{\frac{3}{2}} \cdot \underbrace{e^{-\beta H}}_{\text{klesá}} \cdot \underbrace{\sqrt{H}}_{\text{rosté}}$$

Př.: Jaká je střední doba (počet bodů), aby padla 6?

$$\frac{\partial \rho}{\partial t} = \{H, \rho\}$$

rovnice pro výpočet ρ !!! → pak už můžu středovat vývoj v QM:

Schrödingerova rovnice:

$$\frac{d}{dt} |\psi(t)\rangle = -i\hbar H |\psi(t)\rangle$$

smíšený stav - opět podle Sch.čas.rce (důsledek)

$$\frac{d}{dt} \hat{\rho}(t) = -\frac{i}{\hbar} [\hat{H}(t), \hat{\rho}(t)]$$

počáteční podmínky $\hat{\rho}(t=0)$

neznámý operátor $\hat{\rho}(t)$

platí i pro \hat{H} závislý na čase (explicitně)

4.2.1. Harmonický oscilátor v 1D

$$p(t=0) = p_0, q(t=0) = q_0$$

čistý stav:

$$\rho(p, q, t) = \delta(p - \tilde{p}(t)) \delta(q - \tilde{q}(t))$$

→ běhá po elipse, \tilde{p}, \tilde{q} řešení pohybových rovnic v čase $t = 0$ mám obláček → v čase $t \neq 0$ se obláček roztahuje a zploštuje ~ dýchá

stacionární soubor $\frac{\partial \rho}{\partial t} = 0$ - stojím v 1 bodě a hustota teček kolem mě se nemění

v případě obláčku harm. oscilátorů nejde o stacionární soubor

mikrokanonický soubor - energetická nadplocha je obsazena rovnoměrně (na dané elipse $\rho(p, q)$) δ -funkce za sebou)

kanonický soubor:

$$\rho(p, q) = \frac{e^{-\beta H(p, q)}}{\underbrace{Z(\beta)}_{\text{normální konstanta}}}$$

v okolí počátku má $\rho(p, q)$ maximální hodnotu, na plochách $H = \text{konst.}$ je $\rho = \text{konst.}$

stacionární soubor

cvičení:

- vypočtěte střední hodnotu souřadnice v tomto souboru

$$\langle q \rangle = \int_{-\infty}^{\infty} \int_{-\infty}^{\infty} q \rho(p, q) dp dq = 0$$

- vypočtěte střední hodnotu impulzu v tomto souboru

$$\langle p \rangle = \int_{-\infty}^{\infty} \int_{-\infty}^{\infty} p \rho(p, q) dp dq = 0$$

- vypočtěte střední kvadratickou fluktuaci souřadnice

$$\sqrt{\langle q^2 \rangle - \langle q \rangle^2} = \Delta q$$

- vypočtěte střední kvadratickou fluktuaci impulzu
- vypočtěte energii + střední kvadratickou fluktuaci energie

4.2.2. Dvojhlinový systém

stavy systému:

- $|\mu_1\rangle$ systém v místě 1
- $|\mu_2\rangle$ systém v místě 2
- $|\mu_1\rangle, |\mu_2\rangle$ ortogonální
přeskok mezi $|\mu_1\rangle, |\mu_2\rangle$

$$H = \hbar \Delta [|\mu_1\rangle\langle\mu_2| + |\mu_2\rangle\langle\mu_1|] = \hbar \Delta \begin{pmatrix} 0 & 1 \\ 1 & 0 \end{pmatrix}$$

báze $\{|\mu_1\rangle, |\mu_2\rangle\}$, H je v této bázi nediagonální

- 1) řešení bezčasové Schrödingerovy rovnice
- 2) řešení časové Schrödingerovy rovnice
- 3) řešení Liouvilleovy rovnice

- ad 1)

$$H|\alpha_k\rangle = E_k|\alpha_k\rangle$$

$$(H - E_k)|\alpha_k\rangle = 0 \rightarrow \text{netriviální řešení} \det(H - E_k) \\ \rightarrow E_2 = 2\hbar\Delta \cos \frac{\pi}{3}, E_1 = 2\hbar\Delta \cos \frac{2\pi}{3}$$

$$|\alpha_k\rangle = \begin{pmatrix} \alpha_1 \\ \alpha_2 \end{pmatrix}$$

neznámé α_1, α_2, E

$$\hbar\Delta \begin{pmatrix} 0 & 1 \\ 1 & 0 \end{pmatrix} \begin{pmatrix} \alpha_1 \\ \alpha_2 \end{pmatrix} = E \begin{pmatrix} \alpha_1 \\ \alpha_2 \end{pmatrix}$$

$$\alpha_2 = \sqrt{\frac{2}{3}} \left[\sin \frac{\pi}{3} |\mu_1\rangle + \sin \frac{2\pi}{3} |\mu_2\rangle \right]$$

• ad 2)

$$|\psi(t=0)\rangle = a|\mu_1\rangle + b|\mu_2\rangle$$

$$|\psi(t)\rangle = \underbrace{\exp\left\{-\frac{i}{\hbar}\hat{H}t\right\}}_{U(t)} |\psi(0)\rangle$$

$$U(t) = \begin{pmatrix} \cos \Delta t & -i \sin \Delta t \\ i \sin \Delta t & \cos \Delta t \end{pmatrix}$$

buď vyjádřím Taylorem exponenciálu z \hat{H} v původní bázi nebo použiji stacionární bázi (přechod do stacionární a nazpět do nestacionární báze):

$$e^{\begin{pmatrix} \alpha & 0 \\ 0 & \beta \end{pmatrix} t} = \begin{pmatrix} e^\alpha & 0 \\ 0 & e^\beta \end{pmatrix}$$

nebo

$$e^{-tA} \xrightarrow{\text{L. transf.}} \frac{1}{Z+A} = (Z+A)^{-1}$$

inverze matice

$$\begin{pmatrix} p & q \\ s & q \end{pmatrix}^{-1} = \frac{1}{pq - rs} \begin{pmatrix} q & -r \\ -s & p \end{pmatrix}$$

střední hodnota A :

$$\langle A(t) \rangle = \langle \psi(t) | \hat{A} | \psi(t) \rangle$$

střední hodnota energie:

$$\langle \hat{H}(t) \rangle = \langle \psi(t) | \hat{H} | \psi(t) \rangle$$

ve stacionární bázi $\{|\alpha_1\rangle, |\alpha_2\rangle\}$

$$H = \begin{pmatrix} E_1 & 0 \\ 0 & E_2 \end{pmatrix}$$

$$U(t) = e^{-\frac{i}{\hbar}\hat{H}t} = \begin{pmatrix} e^{-\frac{i}{\hbar}\hat{E}_1 t} & 0 \\ 0 & e^{-\frac{i}{\hbar}\hat{E}_2 t} \end{pmatrix}$$

• ad 3) smíšené stavy - dynamika matici hustoty

$$\rho = \sum_n w_n |\psi_n\rangle \langle \psi_n| = \begin{pmatrix} \rho_{11} & \rho_{12} \\ \rho_{21} & \rho_{22} \end{pmatrix}$$

nediagonální členy - koherence

součet prvků na diagonále je 1: ($\rho_{kk} = \text{Prob}\{\dots\}$)
 $\rightarrow \text{Tr } \rho = 1$

hermitovská matice $\rho = \rho^+$

stopu můžu počítat v libovolné bázi $\text{Tr } \rho^2 \leq$

$(\text{Tr } \rho)^2 = 1$
 středování $q(t) = \text{Tr}(\rho(t)Q) \dots$ Schrödingerův obraz
 čistý stav $\rho = \langle \psi || \psi \rangle$, $\text{Tr } \rho = 1$

$\frac{d}{dt} \rho(t) = -\frac{i}{\hbar} [H, \rho(t)], \quad \rho(t_0) = \rho_0 \dots$ Liouvilleova rovnice
 upravíme na

$$\frac{d}{dt} \rho(t) = -i \mathcal{L} \rho(t), \quad \mathcal{L} = \frac{i}{\hbar} [H, \cdot]$$

formální řešení:

$$\begin{aligned} \rho(t) &= e^{-\frac{i}{\hbar}\hat{H}t} \rho_0 e^{\frac{i}{\hbar}\hat{H}t} \\ \rho(t) &= \text{Tr}(\rho(t)Q) = \text{Tr} \left(e^{-\frac{i}{\hbar}\hat{H}t} \rho_0 e^{\frac{i}{\hbar}\hat{H}t} Q \right) = \\ &= \text{Tr} \left(\rho_0 e^{-\frac{i}{\hbar}\hat{H}t} Q e^{\frac{i}{\hbar}\hat{H}t} \right) = \text{Tr}(q_0 Q(t)) \\ &\dots \text{Heisenbergův obraz} \end{aligned}$$

Cvičení: Nechť počáteční stav byl čistý:

$$|\alpha_1\rangle \rightarrow \rho_0 = \begin{pmatrix} 1 & 0 \\ 0 & 0 \end{pmatrix}.$$

Dokažte, že

$$\begin{aligned} \rho(t) &= U(t) \rho_0 U^+(t) = \\ &= \begin{pmatrix} \frac{1}{2}(1 + \cos \Delta t) & i \sin \Delta t \\ -i \sin \Delta t & \frac{1}{2}(1 - \cos \Delta t) \end{pmatrix} \end{aligned}$$

oscilace pravděpodobností s frekvencí $\Delta \rightarrow$ nevzniká rovnováha

4.3. Relaxace do rovnovážného stavu

Počáteční podmínky: $\rho_0 \xrightarrow{t \rightarrow \infty} \rho_E$
 rovnovážná matice hustoty má tvar

$$\rho_E = \frac{e^{-\beta H}}{\text{Tr } e^{-\beta H}}$$

(Gibbsův kanonický soubor)
 v bázi $\{|\alpha_1\rangle, |\alpha_2\rangle\}$:

$$Z(\beta) = \text{Tr } e^{-\beta H} = \text{Tr} \left(\begin{matrix} e^{-\beta E_1} & 0 \\ 0 & e^{-\beta E_2} \end{matrix} \right) = e^{-\beta E_1} + e^{-\beta E_2}$$

$$\rho_E = \begin{pmatrix} \pi_1 & 0 \\ 0 & \pi_2 \end{pmatrix} \quad E_1 = -\hbar\Delta \quad E_2 = \hbar\Delta$$

$$\pi_1 + \pi_2 = 1$$

$$\frac{\pi_2}{\pi_1} = e^{-\frac{1}{k_B T}(E_2 - E_1)}$$

při nízkých teplotách π_2 malá pravděpodobnost $\pi_2 < \pi_1$
vypočtěte střední hodnotu energie

$$\langle H \rangle = \text{Tr}(H\rho_E) = \text{Tr} \begin{pmatrix} E_1 & 0 \\ 0 & E_2 \end{pmatrix} \begin{pmatrix} \pi_1 & 0 \\ 0 & \pi_2 \end{pmatrix} =$$

$$\text{Tr} \begin{pmatrix} E_1\pi_1 & 0 \\ 0 & E_2\pi_2 \end{pmatrix} = E_1\pi_1 + E_2\pi_2 < 0$$

$$= -\hbar\Delta \tgh \left(\frac{\beta\hbar\Delta}{2m} \right)$$

průběh relaxace: přidám tlumící členy

$$\frac{d}{dt}\rho(t) = -\frac{i}{\hbar}[H, \rho(t)] + \kappa\rho(t)$$

pro libovolnou počáteční podmínky se utlumí nedagonální elementy a interakce s rezervoárem
diagonální prvky $\rightarrow \pi_1, \pi_2$

$$\rho = \begin{pmatrix} \rho_{11}(0) & \rho_{12}(0) \\ \rho_{21}(0) & \rho_{22}(0) \end{pmatrix}$$

$$\dot{\rho}_{11}(t) = 0 - \gamma_{\parallel}(\rho_{11}(t) - \underbrace{\rho_{11}^{(E)}}_{\pi_1})$$

$$\dot{\rho}_{22}(t) = 0 - \gamma_{\parallel}(\rho_{22}(t) - \underbrace{\rho_{22}^{(E)}}_{\pi_2})$$

$$\dot{\rho}_{12}(t) = i\lambda\rho_{12}(t) - \gamma_{\perp}\rho_{12}(t) \rightarrow 0$$

$$\dot{\rho}_{21}(t) = -i\lambda\rho_{21}(t) - \gamma_{\perp}\rho_{21}(t) \rightarrow 0$$

Máme soustavu rezervoár - dvojhladinový systém
- vnější pole

Do kvantového popisu nezahrnu rezervoár, zůstanu v κ dvojhladinového systému a doplním relaxační člen

vnější pole přiberu jako poruchu hamiltoniánu $H_S = H_0 + H_p(t)$

střední hodnota

Schrödingerův obraz

$$\langle A \rangle = \text{Tr}(\rho(t)A) \rightarrow \text{úhel mezi } \rho(t) \text{ a } A$$

Heisenbergův obraz

$$\langle A \rangle = \text{Tr}(\rho_0 A(t)) \rightarrow \text{úhel mezi } \rho_0 \text{ a } A(t)$$

Diracův obraz: opět $\langle A \rangle$ úhel mezi $\rho(t)$ a $A(t)$

4.4. Pauliho rovnice

$$\rho(t) = \begin{bmatrix} \pi_1(t) & r(t) \\ r^*(t) & \pi_2(t) \end{bmatrix} \quad (155)$$

Soustava přechází mezi stavů, pravděpodobnosti obsazení stavů funkce času

Rychlosť změny pravděpodobnosti stavu w z důvodu přílivu ze stavu $n = 1, \dots, N$

$$\frac{d}{dt}p_n(t) = \sum_{n'(\neq n)} \lambda_{nn'}p_{n'}(t) - \sum_{n'(\neq n)} \lambda_{n'n}p_{n'}(t)$$

Počáteční podmínky $\pi_1(0) = 1, \pi_2(0) = 0$

Vyřešte tuto rovnici:

$$\frac{d}{dt} \begin{pmatrix} \pi_1(t) \\ \pi_2(t) \end{pmatrix} = - \begin{pmatrix} \lambda_1 & -\lambda_2 \\ -\lambda_1 & \lambda_2 \end{pmatrix} \begin{pmatrix} \pi_1(t) \\ \pi_2(t) \end{pmatrix}$$

$$\dot{\pi}_1(t) = -\lambda_1\pi_1(t) + \lambda_2\pi_2(t)$$

... úbytek pravděpodobnosti stavu 1, přárůstek pravděpodobnosti stavu 2

4.5. Gibbsovy statistické soubory

Metoda mikrokanonického souboru

$H(p, q) = E$ izolovaný systém

$H \rightarrow 1$ podmínka \rightarrow plocha $6N - 1$ energetická nadplocha

za velmi dlouhou dobu trajektorie pokryje celou plochu se stejnou hustotou

časové středování \rightarrow souborové středování (ztotožnění)

$$\lim_{T \rightarrow \infty} \frac{1}{T} \int_{t_0}^{t_0+T} A(p(t), q(t)) = \int dp dq A(p, q) \rho_E(p, q)$$

ρ_E vhodně volená distribuční funkce

Pokud vím o souboru pouze to, jakou má energii, musím předpokládat stejnou pravděpodobnost pro všechny body

harmonický oscilátor:

plocha homogenně vyplňena obláčkem dE - energetická vrstva

počet mikrostavů v ploše - z Heisenbergova principu, pokryjí elementárními celami o straně h (neurčitost q a p) $\sim h^{3N}$

nerozlíšitelnost částic - musím vydělit $(N!)$ entropie

$$S(E, N, V) = k_B \ln W(E, N, V) =$$

$$= k_B \ln \frac{1}{N!h^{3N}} [\Gamma_0(E + dE) - \Gamma_0(E)]$$

Pravděpodobnost počtu mikrostavů, realizací makrostavu $\Gamma_0(E)$ - obsah plochy úpd nadplochou E

Váza - zvýšení hladiny o dE , čím jsem výš, tím víc vody musím dolít.

Při zvýšení hladiny o dE musím dolít tolik vody, že je vody pod hladinou zanedbatelné množství → objem dE stejný, jako objem od 0 do $E + dE$ můžu integrovat přes celý prostor:

$$\Gamma_0(E, N, V) = \int dx \theta E - H(x) \quad (156)$$

počet mikrostavů od energie 0 do energie $E + dE$:

$$\Omega_0(E, N, V) = \frac{1}{h^{3N} N!} \Gamma_0(E, N, V) \quad (157)$$

hustota stavů na energii E :

$$\Omega(E, N, V) = \frac{\partial \Omega_0}{\partial E} \quad (158)$$

Entropie:

$$\begin{aligned} S(E, N, V) &= k_B \ln W(E, dE, N, V) = \\ &= k_B \ln [\Omega(E, N, V) dE] \stackrel{\text{viz váza}}{=} k_B \ln [\Omega_0(E, N, V)] \end{aligned} \quad (159)$$

Z termodynamiky:

$$dS = \frac{dE}{T} + pdV + \frac{\mu}{T} dN$$

4.6. Výpočet entropie ideálního plynu

Znalost hustoty stavů $\Omega(E)$ určuje makroskopické veličiny. **Partiční funkce** je Laplaceova transformace funkce Ω v proměnné E :

$$\begin{aligned} Z(\beta) &= \int_0^\infty dE e^{-\beta E} \Omega(E) \\ H &= \sum_i \left[\frac{p_{x_i}^2 + p_{y_i}^2 + p_{z_i}^2}{2m} + V_E(x_i, y_i, z_i) \right] \end{aligned}$$

• 1) podle definice (157):

$$\Omega_0(E, N, V) = \frac{V^N}{h^{3N} N!} \cdot (\oplus) = \frac{V^N}{h^{3N} N!} \cdot \frac{(2\pi m E)^{\frac{3N}{2}}}{\Gamma(\frac{3N}{2} N + 1)},$$

kde \oplus je objem $3N$ -rozměrné koule o poloměru $\sqrt{2mE}$

$$\Omega_0(E, N, V) = A \cdot V^N E^{\frac{3N}{2}} \cdot \frac{1}{\Gamma(\frac{3N}{2} N + 1)}$$

$$\Omega(E, N, V) = A \cdot V^N \cdot \frac{3}{2} N \frac{E^{\frac{3N}{2}}}{\Gamma(\frac{3N}{2} N + 1)} = A V^N \frac{E}{\Gamma(\frac{3N}{2} N)}$$

• 2) přes stavovou funkci:

$$Z(\beta) = [\underbrace{r(\beta)}_{\text{pro 1 částici}}]^N \cdot \frac{1}{Nh^{3N}} = V^N \cdot \left(\frac{2\pi n}{\beta} \right)^{\frac{3N}{2}} \cdot \frac{1}{Nh^{3N}}$$

- funkce má v počátku pól násobnosti $\frac{3N}{2}$

$$\begin{aligned} \Omega(E) &= \frac{1}{2\pi i} \int_{-i\infty+\varepsilon}^{i\infty+\varepsilon} e^{\beta E} Z(\beta) d\beta \\ \frac{1}{2\pi i} \int \frac{f(z) dz}{(z-a)^n} &= \frac{1}{(n-1)!} \frac{d^{n-1}}{dz^{n-1}} f(z) \Big|_{z=a} \end{aligned}$$

Př. 1: Jaké musí být ε , aby integrál ve vrstvě byl roven $\frac{1}{2}$ celého objemu?

$$\begin{aligned} \Omega_0(E) &= A \frac{1}{N} E^N \\ \Omega(E) &= A E^{N-1} \\ E' &\in (E - \varepsilon, E) \\ \int_{E-\varepsilon}^E dE' d\Omega(E') &= \frac{1}{2} \Omega_0(E) \\ \frac{1}{N} A [E'^N]_{E-\varepsilon}^E &= \frac{1}{2} A \frac{1}{N} E^N \\ E^N - (E - \varepsilon)^N &= \frac{1}{2} E^N \rightarrow N E^{N-1} \varepsilon \sim \frac{1}{2} E^N \\ \varepsilon &\sim \frac{1}{2} \frac{E}{N} \end{aligned}$$

Relativní tloušťka

$$\frac{\varepsilon}{E} = \frac{1}{2 \cdot 10^{24}}$$

Př. 2: Nechť $\varepsilon = \frac{E}{\sqrt{N}} = 10^{-12} E$, jaký je objem fázového prostoru mezi energetickými nadplochami $E - \varepsilon$ a E ?

$$\begin{aligned} \int_{E-\varepsilon}^E \Omega(E') dE' &= A \frac{1}{N} E^N \left[1 - \left(1 - \frac{\varepsilon}{E} \right)^N \right] = \\ &= \Omega_0(E) \left(1 - e^{-\sqrt{N}} \right) \end{aligned}$$

Pod touto plochou pouze $\Omega_0(E) \cdot 10^{-4,3 \cdot 10^{11}}$

4.7. Vztah k termodynamice

systém:

- A: $\Omega_1(E_1) = A_1 \cdot E_1^{N_1}$
- B: $\Omega_2(E_2) = A_2 \cdot E_2^{N_2}$ $E = E_1 + E_2$ mikrokanonický je sumární systém
jaká je hustota stavů po spojení systému A a B

Věta: Hustota sumárního stavu je rovna konvoluci jednotlivých stavů.

$$\Omega(E) = \int_0^E dE_1 \Omega_1(E_1) \Omega_2(E - E_1)$$

součet vylučujících se možností od 0 do E , v pravděpodobnosti součet nezávislých jevů
Nárůst/pokles je nesmírně rychlý → dostanu peak.
Integrovaná funkce $I(E_1) = \Omega_1(E_1) \Omega_2(E - E_1)$ - ostré maximum v E_1^*
Podmínka maxima s E_1^* , $E_2^* = E - E_1^*$:

$$\frac{d}{dE_1} \ln \Omega_1(E_1) = \frac{d}{dE_2} \ln \Omega_2(E_2)$$

Př.1: 84% integrálu $\Omega(E)$ je tvořeno příspěvkem z intervalu

$$E_1 \in \left(E_1^* - \frac{E_1^*}{\sqrt{N}}, E_1^* + \frac{E_1^*}{\sqrt{N}} \right)$$

malinká oblast s relativní šírkou $\frac{2}{10^{+12}}$ → peak strašně uzounký, ostrý

Př.2: 99,998% integrálu $\Omega(E)$ je tvořeno oblastí 3x širší - I rychle klesá od peaku.

Př.3: Mějme

$$E_1 \in \left(E_1^* - \frac{E_1^*}{10^6}, E_1^* + \frac{E_1^*}{10^6} \right).$$

Jak velkou část integrálu tvoří integrace přes tu to oblast $\Sigma(E_1^*)$?

$$\Sigma(E_1^*) = \Omega(E) \cdot 10^{-4,3 \cdot 10^{11}}$$

Řešení:

- 1) úprava podmínek pro maximum
- 2) vyjádřete $\ln I(E_1) = L(E_1)$
- 3) rozvíjte $L(E_1)$ do Taylorovy řady kolem bodu E_1^* :

$$\begin{aligned} L(E_1) &= L(E_1^* + \underbrace{(E_1 + E_1^*)}_{\text{Taylorův přírůstek}}) = \\ &= L(E_1^*) - N_1 \left(1 + \frac{N_1}{N_2} \right) \left(\frac{E_1 - E_1^*}{E_1^*} \right)^2 + \dots \end{aligned}$$

- 4) přejdeme od L k I zpátky:

$$I(E_1) = \Omega_1(E_1^*) \Omega_2(E - E_1^*) \cdot e^{N_1 \left(1 + \frac{N_1}{N_2} \right) \left(\frac{E_1 - E_1^*}{E_1^*} \right)^2},$$

kde e^{\dots} je Gaussovka, v exponentu $-N_1 \dots$ obrovské číslo → rychlý pokles

Př.: Povrch Země ($\Omega(E)dE$) je nabarven červenou barvou, ale 1 cm^2 je nabarven modře. Stavy kompozitního systému, kde se liší E_1 od E_1^* o více než 1 milióntinu.

Dva systémy interagují, dospejí do rovnovážného stavu - pravděpodobnost, že E_1 je strašně blízká E_1^* , je obrovská → reprodukovatelnost experimentů.

Přirovnání k obarvené Zemi je pořád ještě málo: je to $10^{-34} \gg 10^{-4,3 \cdot 10^{11}}$

Pokud budu mít třeba jenom 100 částic, dostanu gaussovku, ta bude ale širší → větší rozmažání E_1 .

4.8. Mikrokanonický soubor pro kvantový systém

Kostka:

$$Z(\beta) = e^{-\beta E_1} + \dots + e^{-\beta E_N}$$

$$\Omega(E) = \delta(E - E_1) + \dots + \delta(E - E_N)$$

Z Laplaceovy transformace:

$$\int_0^\infty dt e^{-2t} \delta(t - t^*) = e^{-2t^*}$$

Les δ -fcí, pokud tam mám hodně E → sleje se to $N = 4 \dots 2^4$ mikrostavů
zadání celkové energie E neurčuje konkrétní mikrostav $N = 5$ rozdělím na $3 + 2$
podsystém, co mě zajímá - rozmažaná energie
jako celek energie rozdělena mikrokanonicky

Máme rezervoár R , jeho podmnožinou je systém S - makroskopické.

Energie (mikrokanonické)

$$E_S + E_R = E$$

Distribuční funkce pro systém:

$$\rho_S(p, q) = \frac{e^{-\beta H_S(p, q)}}{\int e^{-\beta H_S(p, q)}} = \frac{e^{-\beta H_S(p, q)}}{Z(\beta)}$$

... kanonický soubor

Energie podsystému už není rozdělena mikrokanonicky, ale přes distribuční funkci ρ_S

Kvantový analog:

$$\hat{\rho}_S = \frac{e^{-\beta \hat{H}_S}}{\text{Tr}_S e^{-\beta \hat{H}_S}}$$

Kanonický soubor:

$$a(\beta, N, V) = \langle A_S(p, q) \rangle_{EQ} = \int A(p, q) \frac{e^{-\beta H_S(p, q)}}{Z(\beta)} dp dq$$

V QM:

$$\langle \hat{A} \rangle = \text{Tr} \left(\hat{A} \frac{e^{-\beta H}}{\text{Tr } e^{-\beta H}} = \frac{1}{Z(\beta)} \text{Tr } A e^{-\beta H} \right)$$

Chci dokázat, že pokud mám systém v mikrokanonickém rozdělení, potom jeho podsystém už patří do kanonického rozdělení s ρ_S :

$$\rho_{S+R} = \begin{cases} \frac{1}{\Omega(E)dE} & E \\ 0 & \text{jinde} \end{cases}$$

$$\rho_S = \sum_R \rho_{S+R} = AE^2 e^{-\beta H_S}$$

$$\sum \rho_S = 1 \Rightarrow \rho_S = \frac{e^{-\beta H}}{\sum e^{-\beta H}}$$

4.9. Stavová suma

Znalost stavové sumy Z určuje všechny termodynamické veličiny

$$Z(T, V, N) = \frac{1}{N!h^{3N}} \int e^{-\beta H} dP$$

$$Z(\beta) = \sum e^{-\beta H} = \sum_{l,m} \langle l, m | e^{-\beta H} | l, m \rangle$$

$|l, m\rangle$ vlastní vektory H

Degenerované spektrum:

$$H|l, m\rangle = E_l|l, m\rangle$$

$$e^{-\beta H} = 1 + \beta H + \frac{1}{2}(\beta H)^2$$

$$\begin{aligned} e^{-\beta H}|l, m\rangle &= (1 + \beta H + \dots)|l, m\rangle = \\ &= |l, m\rangle + \beta H|l, m\rangle + \dots = e^{-\beta E_l}|l, m\rangle \\ Z(\beta) &= \sum_{l,m} e^{-\beta E_l} - \sum_l g_l e^{-\beta H_l} \end{aligned}$$

degenerační faktor g_l - dáno degenerací hladin

$$\Omega(E) = \sum_l g_l \delta(E - E_l)$$

$$Z(\beta) = \sum_l e^{-\beta E_l} g_l = \int_0^\infty dE \Omega(E) e^{-\beta H}$$

$$\langle E \rangle = \frac{1}{2} \int_0^\infty e^{-\beta H} \cdot E \cdot \Omega(E) dE$$

hustota pravděpodobnosti pro energii

$$w(E) = \frac{e^{-\beta E} \Omega(E)}{Z(\beta)}$$

4.10. Shrnutí Gibbsových souborů

4.10.1. Gibbsův mikrokanonický soubor

Přesně nastaveny (fixovány) V, N, E
Pravděpodobnost každého mikrostavu pro tyto makroskopické parametry je stejná
Na makroskopickou úroveň se dostanu

$$S(E, V, N) = k \ln[\Omega(E, V, N) \delta E] = k \ln[\Omega_0(E, V, N)]$$

Př.: N ... počet častic
spin nahoru dolů

$$E = \varepsilon_0 N_+ - \varepsilon_0 N_- = \varepsilon_0 (N_+ - N_-) = \varepsilon_0 M$$

E fixují
kolik je mikrostavů, které reprezentují E , $w(M) = ?$

$$w(M) = \frac{N!}{[\frac{1}{2}(N-M)]! [\frac{1}{2}(N+M)]!}$$

$$S(E) = k_B \ln w(M) = -k \{N_- \ln \frac{N_-}{N} + N_+ \ln \frac{N_+}{N}\}$$

$$\frac{1}{T} = \frac{\partial S(E)}{\partial E} = \frac{1}{\varepsilon_0} \frac{\partial S(E)}{\partial M} = \frac{1}{2} \frac{k_B}{\varepsilon_0} \ln \frac{N-M}{N+M}$$

$$\frac{N_-}{N_+} = \frac{N-M}{N+M} = e^{2\beta\varepsilon_0} \Rightarrow$$

$$\frac{N_-}{N} = \frac{e^{\beta\varepsilon_0}}{e^{\beta\varepsilon_0} + e^{-\beta\varepsilon_0}}$$

$$\frac{N_+}{N} = \frac{e^{-\beta\varepsilon_0}}{e^{\beta\varepsilon_0} + e^{-\beta\varepsilon_0}}$$

$$E = -(N_- - N_+) \varepsilon_0 = -N \varepsilon_0 \tanh \beta \varepsilon_0$$

$$\varepsilon = \frac{dE}{dT} = N k_B \frac{(\beta \varepsilon_0)^2}{\cosh^2(\beta \varepsilon_0)}$$

Objem fázového prostoru pod energetickou nadplochou:

$$\Gamma_0(E, N, V) = \int dx \theta(E - H(x))$$

Počet mikrostavů pod energetickou nadplochou:

$$\Omega_0(E, N, V) = \frac{1}{N!h^{3N}} \Gamma_0(E, N, V)$$

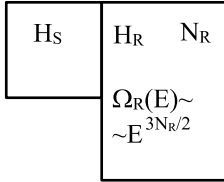
Hustota stavů (vznikne derivací $\frac{d}{dE}$):

$$\Omega(E, N, V) = \frac{\partial \Omega_0}{\partial E}$$

Hustota pravděpodobnosti:

$$\rho(x; E, N, V) = \begin{cases} \frac{1}{\Gamma_0(E+dE, N, V) - \Gamma_0(E, N, V)} & x \in (E, E+dE) \\ 0 & \text{jinde} \end{cases}$$

kde $\Gamma_0(E+dE, N, V) - \Gamma_0(E, N, V)$ je počet mikrostavů ve sloji



Obr. 1.— Ke Gibbsově větě

4.10.2. Gibbsův kanonický soubor

Gibbsova věta (platí pro malé i pro velké soubory): Nechť $H(p, q)$ je hamiltonián našeho systému, tento systém je delší dobu v kontaktu s rezervoárem R (energie rezervoáru E_R , počet častic v rezervoáru N_R), R má nekonečný počet stupňů volnosti. Nechť

$$\varepsilon_R = \frac{E_R}{N_R} \longrightarrow \varepsilon.$$

Potom rovnovážná distribuční funkce systému (systém značím indexem S) $\rho_S(x; \beta, N_S, V_S)$ vypadá

$$\rho_S(x; \beta, N_S, V_S) = \frac{\frac{1}{N!h^{3N}} e^{-\beta H_S(x; N_S, V)}}{Z(\beta, V, N)} \quad (160)$$

Máme také normovací podmítku

$$\int \rho_S(x) dx = 1$$

a stavovou sumu ve tvaru

$$Z(\beta, V, N) = \frac{1}{N!h^{3N}} \int dx e^{-\beta H_S(x)}. \quad (161)$$

Stavová suma je centrální veličina.

Důsledek 1:

$$\Omega(E) = \frac{1}{N!h^{3N}} \int dx \delta(E - H(x)) \quad (162)$$

Z předchozího víme, že hustota stavů Ω je derivací počtu mikrostavů Ω_0 v energetické nadploše

$$\Omega_0(E) = \frac{1}{N!h^{3N}} \int dx \theta(E - H(x)) \quad (163)$$

Také můžu napsat

$$Z(\beta, V, N) = \int_0^\infty dE e^{-\beta E} \Omega(E) = \\ = \int_0^\infty dE e^{-\beta E} \frac{1}{N!h^{3N}} \int dx \delta(E - H(x)) \quad (164)$$

Důsledek 2: Hustota pravděpodobnosti pro energii v Gibbsově kanonickém souboru je

$$P_S(E) = \frac{e^{-\beta E} \Omega_S(E)}{Z(\beta, V, N)} \quad (165)$$

Střední hodnota energie Gibbsova souboru v rovnováze daná Gibbsovým rozdělením:

$$U(T, V, N) = \langle H_S \rangle = \int dx H_S(x) \rho_S(x) =$$

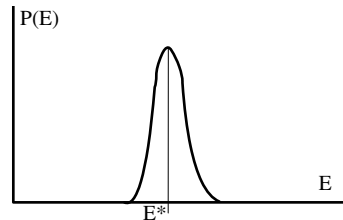
$$= \frac{1}{N!h^{3N}} \int dx H_S(x) \frac{e^{-\beta E} \Omega_S(E)}{Z(\beta, V, N)} =$$

použijeme substituci $E = H_S(x)$

$$= \frac{\int_0^\infty dE e^{-\beta E} \Omega(E)}{Z(\beta, V, N)} =$$

$$\int_0^\infty dE EP(E) \quad (166)$$

Pozor! Energie není ostrá jako u mikrokanonického systému, ale je dána hustotou pravděpodobnosti (165).



Obr. 2.— Jakkoli veliký systém v kontaktu s rezervoárem

Důsledek 3:

$$U(\beta, N, V) = -\frac{\partial}{\partial \beta} Z(\beta, V, N) = -\frac{\frac{\partial}{\partial \beta} Z(\beta)}{Z(\beta)} = \\ = -\frac{\frac{\partial}{\partial \beta} \int_0^\infty dE e^{-\beta E} \Omega(E)}{Z(\beta)} =$$

stavová suma je laplaceovou transformací hustoty stavů

$$= \frac{\int_0^\infty dE e^{-\beta E} \Omega(E)}{Z(\beta)} \quad (167)$$

Gibbsova věta platí pro libovolný systém (libovolně veliký systém). Tento dodatek platí pro velké systémy.

Důsledek 4: Variance energie

$$\begin{aligned}\frac{\partial U}{\partial \beta} &= -\frac{\partial^2}{\partial \beta^2} \ln Z(\beta, N, V) = -\langle (H_S - \langle H_S \rangle)^2 \rangle \\ &= -\langle H_S^2 - 2H_S \langle H_S \rangle + \langle H_S \rangle^2 \rangle \\ &= -\{ \langle H_S^2 \rangle - 2\langle H_S \rangle \langle H_S \rangle + \langle H_S \rangle^2 \} \\ &= -\{ \langle H_S^2 \rangle - \langle H_S \rangle^2 \}\end{aligned}$$

Důsledek 5: Pro makroskopický systém

$$\frac{\partial U}{\partial \beta} = \frac{\partial \langle H_S \rangle}{\partial \beta} = -k_B T^2 C_V(T, V, N) \quad (168)$$

Výraz $\frac{\text{variance } H_S}{T^2}$ je měrné teplo

Důsledek 6:

$$U = \langle H_S \rangle = \frac{3}{2} N_S k_B T \Rightarrow C_V = \frac{3}{2} N k_B$$

má význam měrného tepla.

Střední kvadratická fluktuace σ_U

$$\frac{\sigma_U}{U} = \frac{\sqrt{\langle H_S^2 \rangle - \langle H_S \rangle^2}}{\langle H_S \rangle} = \sqrt{\frac{2}{3N_S}}, \quad (169)$$

kde $\frac{\sigma_U}{U}$ je relativní střední fluktuace a N_S je počet částic systému. Platí jen pro ideální plyn; systém i rezervoár jsou ideální plyny. Velmi ostrý peak v $P(E)$ diagramu.

Důkaz Gibbsova teorému Máme systém (H_S) a rezervoár (H_R, N_R) . Celé je to rozděleno mikrokanonicky:

$$\rho(x, E) = \frac{\frac{1}{N!h^{3N}} [\theta(H(x) - E) - \theta(H - (E + dE))]}{\Omega(E) dE}$$

Pokud můžeme zanedbat povrchové jevy, platí $E = H_S + H_R$, $H(x) = H_S + H_R$, kde H_S je pevné.

$$\rho_S = \sum_R \rho(x, E) = \frac{\Omega_R(E - H_S) dE}{\Omega(E) dE} =$$

Čitatel - scítám jedničky (jednička \Leftrightarrow energie ve sloji, energie rezervoáru) přes možné stavy energie \rightarrow dá to $\Omega_R(E - H_S) dE$ a je to celé ve slupce

$$= \frac{\Omega_R(E)}{\Omega(E)} \frac{\Omega_R(E - H_S)}{\Omega_R(E)} =$$

je-li rezervoár tvořen N_R částicemi ideálního plynu, pak $\Omega_R \sim E^{\frac{3N_R}{2}}$

$$= \frac{\Omega_R(E)}{\Omega(E)} \cdot \left(1 - \frac{H_S}{E}\right)^{\frac{3N_R}{2}} =$$

kde $\beta = \frac{3}{2} \frac{N_R}{E}$

$$\begin{aligned}&= \underbrace{\frac{\Omega_R(E)}{\Omega(E)}}_{Z^{-1}} \cdot \left(1 - \frac{\beta H_S}{\frac{3}{2} N_R}\right)^{\frac{3N_R}{2}} \\ &\lim_{N_R \rightarrow \infty} \rho_S = Z^{-1} e^{-\beta H_S}\end{aligned}$$

$$Z = \int e^{-\beta H_S(x)} dx$$

$$\rho_S(x) = \frac{\frac{1}{N!h^{3N}} e^{-\beta H(x)}}{\frac{1}{N!h^{3N}} \int dx e^{-\beta H_S(x)}}$$

q.e.d.

4.11. Stavová suma

4.11.1. Stavová suma kvantově

$Z(T, V, N)$:

- N - přes hamiltonián a to je suma přes částice
- V - předpokládáme stěny

$$Z(T, V, N) = \sum_l e^{-\beta E_{nl}} g_l = \text{Tr } e^{-\beta \hat{H}_N},$$

kde g_l je počet stavů s energií E (degenerační faktor)

$$\begin{aligned}Z(\beta) &= \sum_l e^{-\beta E_{nl}} g_l = \sum_{l,k} \langle \varphi_{l,k} | e^{-\beta H_S} | \varphi_{l,k} \rangle \\ &= \sum_{l,k} e^{-\beta E_l} = \sum_l e^{-\beta E_l} \underbrace{\sum_{k(l)} 1}_{g_l} = \text{Tr } e^{-\beta H_S}\end{aligned}$$

4.11.2. Stavová suma pro neinteragující systémy

$$Z_{I+II} = Z_I \cdot Z_{II}$$

Př.: Paramagnetikum

Máme množinu dvojhadinových systémů:

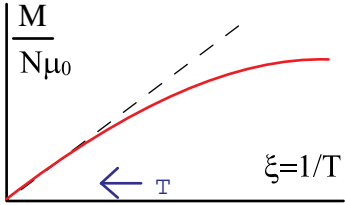
$$E_- = \mu H, E_+ = -\mu H$$

$$Z = e^{\beta \mu_0 H} + e^{-\beta \mu_0 H}$$

$$Z = Z_1^N - [2 \cosh \xi], \quad \text{kde } \xi = \frac{\mu_0 H}{kT}$$

Dokažte, že se znalostí Z můžeme spočítat volnou energii systému $F(\beta, V, N)$:

$$F(\beta, V, N) = -k_B T \ln Z(\beta, V, N).$$



Obr. 3.— Velké teploty T : magnetizace $M \sim \frac{1}{T}$, malé T : $M \neq M(T)$

$$F = U - T \frac{\partial U}{\partial \beta}$$

$$U = - \frac{\partial}{\partial \beta} \ln Z$$

Magnetizace:

$$M = - \frac{\partial F}{\partial H} = N\mu_0 \tanh \xi$$

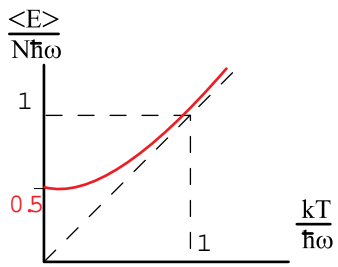
$$C_H = \left(\frac{\partial U}{\partial T} \right)_H = Nk\xi^2 \frac{1}{\cosh^2 \xi}$$

4.11.3. Harmonický oscilátor

Kvantový LHO je v kontaktu s rezervoárem.

$$\langle E \rangle = U = N \left\{ \frac{1}{2} \hbar \omega + \frac{\hbar \omega}{e^{\beta \hbar \omega} - 1} \right\},$$

kde U je střední energie z pravděpodobnostního hlediska pro 1 oscilátor. Pro N oscilátorů je to TD energie.



Obr. 4.— Energie pro malé teploty: $E = \text{konst.}$ ($C_V \rightarrow 0$). Energie pro velké teploty: $E \sim T$ ($C_V = \text{konst.}$)

$$E_n = \hbar \omega \left(n + \frac{1}{2} \right), \quad n = 0, 1, 2, \dots$$

Jeden oscilátor:

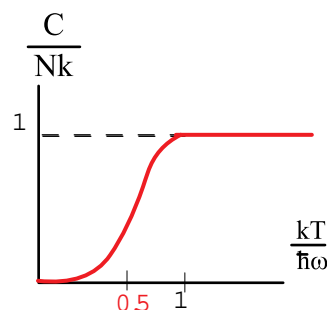
$$Z_1 = \sum_{n=0}^{\infty} e^{-\beta E_n} = e^{-\frac{1}{2}\beta \hbar \omega} \sum_{n=0}^{\infty} (e^{-\beta \hbar \omega})^n$$

$$= e^{-\frac{1}{2}\beta \hbar \omega} \frac{1}{1 - e^{-\beta \hbar \omega}} = \frac{1}{2 \sinh(\frac{1}{2}\beta \hbar \omega)}$$

N oscilátorů se stejnými frekvencemi:

$$Z = Z_1^N = \left(\frac{1}{2 \sinh(\frac{1}{2}\beta \hbar \omega)} \right)^N$$

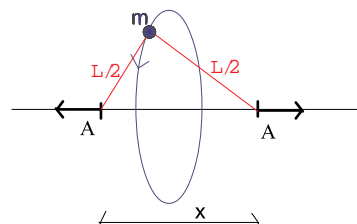
Měrné teplo:



Obr. 5.— C je úměrné počtu oscilátorů. Na každý oscilátor zbyde energie $k_B T$.

$$C = \left(\frac{\partial U}{\partial T} \right)_N = Nk_B \xi^2 \frac{e^\xi}{(e^\xi - 1)^2}, \quad \text{kde } \xi = \frac{\hbar \omega}{k_B T}$$

4.11.4. Kulička na niti



Obr. 6.— Kulička na niti

$$H = \frac{p_\varphi^2}{2mr^2} = 2 \frac{p_\varphi^2}{m(L^2 - x^2)}$$

$$r = \frac{1}{2} \sqrt{L^2 - x^2}$$

$$p_y = mr^2 \dot{\varphi},$$

kde φ je zobecněná souřadnice a $\dot{\varphi}$ je zobecněná rychlosť.

$$x = \frac{\partial H}{\partial p_\varphi} = \frac{2x}{L^2 - x^2} \underbrace{\frac{p_\varphi^2}{2mr^2}}_{\frac{1}{2}k_B T}$$

Kulička dlouho v kontaktu s rezervoárem → půjde do rovnováhy dané Gibbsovým kanonickým rozdělením

- \Rightarrow směs modelů, z nichž každý se otáčí jinou rychlostí
- \Rightarrow vše s určitou pravděpodobností
 $\frac{e^{-\beta H}}{Z}$ - rozložení 1 bodu \Rightarrow s touto pravděpodobností

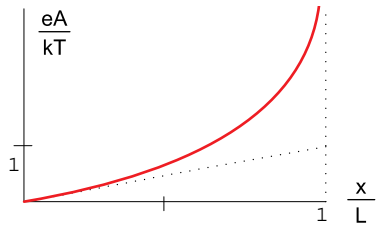
- můžeme pohnout s uchycením

$$1) Z(\beta) \sim \sqrt{L^2 - x^2}$$

Střední síla:

$$A = \langle x \rangle = -kT \frac{\partial}{\partial x} \ln Z = \dots = \frac{x}{L^2 - x^2} kT,$$

což je termická stavová rovnice



Obr. 7.— Hookův zákon

4.12. Gibbsovy kanonické soubory - shrnutí

Termodynamická limita:

$$\begin{aligned} \lim_{\substack{N_S \\ V_S \\ \frac{V_S}{N_S} = v_S}} & \rightarrow \infty & \square(N_S, V_S, T) \\ & \rightarrow \infty \\ & \rightarrow \text{konst.} \end{aligned}$$

Provedeme-li s něčím toto, provedli jsme TD limitu. Ekvivalentní pro mikrokanonický i makrokanonický soubor.

[ht]

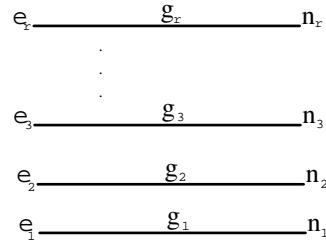
4.13. Soubory neinteragujících částic

To, so dosud bylo řečeno, platilo pro obecný Gibbsův systém (i interagující). Platí

$$H = \sum_{i=1}^N H^{(i)} \quad (170)$$

$$H^{(i)} = T^{(i)} + V^{(i)}, \quad (171)$$

kde $V^{(i)}$ je vnější pole. Tedy $H^{(i)}$ závisí na proměnných i -té částice. Částice jsou odentické, tedy z funkcionálního



Obr. 8.— Jednočásticový hamiltonián neinteragujícího souboru

hlediska jsou genericky identické. V kvantovém systému platí

$$H^{(i)} |\psi_{k,l}\rangle = \varepsilon_k |\psi_{k,l}\rangle \quad (172)$$

U ketu $|\psi_{k,l}\rangle$ se index (i) ztratil, neboť H jsou genericky identické, tedy máme **jednočásticový hamiltonián!!!**

Počet přihrádek je r . Počet podpřihrádek v i -té přihrádce je g_i , tedy celkový počet podpřihrádek je $g_1 + \dots + g_r$.

- **mikrostav:** předpis pro stav každé částice:

- přihrádka $\dots \varepsilon_i$
- podpřihrádka

- **makrostav:** $\{n_i\}_{i=1}^r$
kolik častic sedí na dané hladině, posloupnost obsazovacích čísel n_i .

Vazby:

$$\begin{aligned} \sum_{i=1}^N n_i &= n \\ \sum_{k=1}^r \varepsilon_k n_k &= E \end{aligned}$$

1] Pro 1 makrostav vypočtu počet mikrostavů:

$$W(n_1, g_1; \dots; n_r, g_r) = \dots$$

A) částice kvantové, ale rozlišitelné ... **Maxwell-Boltzmannovo rozdělení**

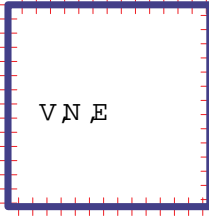
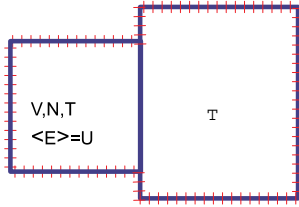
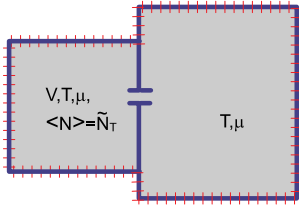
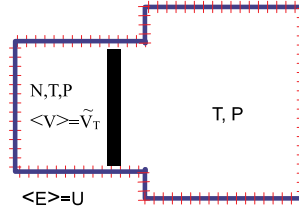
B) částice kvantové s celočíselným spinem, ale nerozlišitelné ... **Bose-Einsteinovo rozdělení**

C) částice kvantové s poličíselným spinem, ale nerozlišitelné ... **Fermi-Diracovo rozdělení**

2] Maximizujeme funkci W pomocí hledání obsazovacích čísel $n_i \rightarrow$ hledání n_i^*

Známe-li n_i^* , umožní nám to odvodit všechny TD vlastnosti systému.

TABULKA 3
PŘEHLED GIBBSOVÝCH SOUBORŮ

Mikrokanonický	Kanonický	Grandkanonický	$T - P$
			
Počet stavů: $\Omega(E, V, N)\delta E$ Pravděpodobnost daného mikrostavu: $= \begin{cases} \frac{1}{\Omega(E)\delta E} & \text{ve vrstvě} \\ 0 & \text{jinde} \end{cases}$	$Z(T, V, N) = \sum_l e^{-\beta E_l(V, N)}$ $= \int_0^{\infty} e^{-\beta E} \Omega(E, V, N) dE$ $= \int_0^{\infty} e^{-\beta H(p, q)} dp dq \frac{1}{N! h^{3N}}$	$Q(T, V, \mu) = \sum_{N=0}^{\infty} e^{\beta N \mu} Z(T, V, N)$ $\text{Prob}\{N, d\Gamma\} =$ $= \frac{1}{Q(T, V, \mu)} \exp[-\beta(E(V, N) - N\mu)]$	$Y(T, P, N) = \int_0^{\infty} e^{-\beta PV} Z(T, V, N) dV$ $\text{Prob}\{dV, d\Gamma\} =$ $= \frac{1}{Y(T, P, N)} \exp[-\beta(E(V, N) + PV)]$
$S(E, V, N) = k \ln [\Omega(E, V, N)\delta E]$ $= k \ln [\Omega_0(E, V, N)]$	$F(T, V, N) = -kT \ln Z(T, V, N)$ $F = U - TS$ $dF = -SdT - PdV + \mu dN$	$\Omega_{Termo}(T, V, \mu) = F - G$ $= U - TS - \mu \tilde{N}$ $= -kT \ln Q(T, V, \mu)$ $d\Omega = -SdT - PdV - \tilde{N}d\mu$	$G(T, P, N) = -kT \ln Y(T, P, N)$ $G = U + PV - TS$ $dG = -SdT + \tilde{V}dP + \mu dN$

33

Maxwell-Boltzmannovo rozdělení: Máme n předmětů, r příhrádek.

$$W'_{MB}(n_1, \dots, n_r) = \frac{n!}{n_1! n_2! \dots n_r!}$$

Vysčítáme přes všechna n_i :

$$\sum_{n_1=0}^n \cdot \sum_{n_2=0}^n \cdot \dots \cdot \sum_{n_r=0}^n W'_{MB}(n_1, \dots, n_r) = r^n \quad (173)$$

V případě rozlišitelných n částic máme

$$W_{MB}(n_1, g_1; \dots; n_r, g_r) = n! \prod_{j=1}^r \frac{g_j^{n_j}}{n_j!} \quad (174)$$

Bose-Einsteinovo rozdělení: Tutéž úvahu pro bosony: výměnou 2 bosonů mezi příhrádkami nedostanu nový mikrostav \rightarrow výpočet mikrostavů pro 1 podpříhrádku:

$$W_{BE}(n_1, \dots, n_r) = \prod_{j=1}^r W_{BE}^{(j)}(n_j, g_j),$$

kde $W_{BE}^{(j)}$ je počet růz.způsobů, jakými můžete n_j předmětů rozmístit do g_j podpříhrádek.

$$W_{BE}(n_1, g_1; \dots; n_r, g_r) = \prod_{j=1}^r \frac{(g_j + n_j - 1)!}{n_j!(g_j - 1)!} \quad (175)$$

Fermi-Diracovo rozdělení: u F-D platí, že nevíce než 1 částice v podpříhrádce:

$$W_{FD}(n_1, \dots, n_r) = \prod_{j=1}^r W_{FD}^{(j)}(n_j, g_j), \quad n_j \leq g_j$$

$$W_{FD}(n_1, g_1; \dots; n_r, g_r) = \prod_{j=1}^r \frac{g_j!}{n_j!(g_j - n_j)!} \quad (176)$$

Vstup: $\varepsilon_i, g_i, N, E, i = 1, \dots, r$

Výstup: n_1^*, \dots, n_r^*

Postup:

$$F(n_1, g_1; \dots) = \ln W(n_1, g_1; \dots)$$

Vazby:

$$\sum_{i=1}^r n_i - N = 0$$

$$\sum_{i=1}^r n_i \varepsilon_i - E = 0$$

$$\begin{aligned} & \frac{\partial}{\partial n_i} \ln W + \alpha \frac{\partial}{\partial n_i} \left(\sum n_i - N \right) + \\ & + \beta \frac{\partial}{\partial n_i} \left(\sum n_i \varepsilon_i - E \right) = 0 \end{aligned}$$

$$\text{MB} \quad n_i^* = g_i e^{\alpha + \beta \varepsilon_i}$$

$$\text{BE} \quad n_i^* = \frac{g_i}{e^{-\alpha - \beta \varepsilon_i} - 1}$$

$$\text{FD} \quad n_i^* = \frac{g_i}{e^{-\alpha - \beta \varepsilon_i} + 1}$$

$$\text{kde } \alpha = \frac{\mu}{k_B T}, \quad \beta = -\frac{1}{k_B T}$$

Odvodili jsme rovnovážné hodnoty obsazení (n_i^*):

$$n_{i MB}^* = g_i \frac{1}{e^{\frac{1}{k_B T}(\varepsilon_i - \mu)}} \quad (177)$$

$$n_{i BE}^* = g_i \frac{1}{e^{\frac{1}{k_B T}(\varepsilon_i - \mu)} - 1} \quad (178)$$

$$n_{i FD}^* = g_i \frac{1}{e^{\frac{1}{k_B T}(\varepsilon_i - \mu)} + 1} \quad (179)$$

Pro **mikrokanonický** soubor získáme dosazením $T = \overline{T}(E, N)$, $\mu = \mu(E, N)$, kde $E = \sum \varepsilon_i n_i + i^*$ a $N = \sum n_i^*$.

Pro **kanonický** soubor: $\mu = \sum \varepsilon_i n_i^* = U(T, N) = \mu(T, N)$

Př.: Jaká je pravděpodobnost toho, že se 6 kostkami uděláme 6 různých čísel?

$$p = \frac{6!}{6^6} = 0,0154$$

Počet jednočásticových stavů tak, že mají jednočásticovou energii v intervalu $\in (\varepsilon; \varepsilon + d\varepsilon)$
Hladiny degenerovány, degenerace dána degeneračním faktorem g_i (jednotka [1]), přejdeme ke spojité funkci $g(\varepsilon)$ (hustotě stavů, jednotka [1/J]):

$$g_1, g_2, \dots \longrightarrow g(\varepsilon) d\varepsilon \quad (180)$$

$$n_i^* = g_i f(\varepsilon_i) \longrightarrow g(\varepsilon) f(\varepsilon) d\varepsilon \quad (181)$$

$$\sum_{i=1}^r n_i^* = N \longrightarrow \int d\varepsilon g(\varepsilon) f(\varepsilon) = N \quad (182)$$

$$\sum_{i=1}^r \varepsilon_i n_i^* = U \longrightarrow \int d\varepsilon \cdot \varepsilon \cdot g(\varepsilon) f(\varepsilon) = U \quad (183)$$

M-B pro rozlišitelné částice:

$$g(\varepsilon) = \underbrace{V}_{\text{objem}} \cdot \overbrace{A}^{\text{konst.}} \cdot \sqrt{\varepsilon}$$

Částice v nekonečně hluboké potencionálové jámě:

$$p_x = \frac{n_i}{L} h$$

Jeden mikrostav v p_i prostoru zaujímá objem $\frac{h^3}{V}$.

$$\varepsilon_m = \frac{1}{2m} (p_x^2 + p_y^2 + p_z^2) \quad (184)$$

Počet mikrostavů v kouli o poloměru $\sqrt{2m\varepsilon}$

$$g_0(t) = \frac{\overbrace{\frac{4}{3}\pi(2m\varepsilon)^{3/2}}^{\text{objem koule o poloměru } \sqrt{2m\varepsilon}}}{\overbrace{\frac{4}{3}\pi(h^3/V)^{3/2}}^{\text{objem na jeden mikrostav}}}$$

Počet mikrostavů s energií $\varepsilon \in (\varepsilon; \varepsilon + d\varepsilon)$ je

$$g(\varepsilon) = \frac{d}{d\varepsilon} g_0(\varepsilon) = A \cdot V \cdot \sqrt{\varepsilon} = V \cdot 2\pi \left(\frac{2m}{h^2}\right)^{3/2} \sqrt{\varepsilon} \quad (185)$$

Disperzní relace $\varepsilon = \varepsilon(\vec{p})$; neboť (184) byl moc jednoduchý vztah pro energii.

$$\begin{aligned} n(\varepsilon)d\varepsilon &= g(\varepsilon)g(\varepsilon)d\varepsilon \\ n(\varepsilon(p)) \frac{\partial d\varepsilon(p)}{\partial dp} d\overbrace{p}^{\text{hybnost}} &= \tilde{n}(p)dp \\ \tilde{n}(p)dp &= \tilde{n}(p(V)) \cdot \frac{dp(V)}{dV} dV = \tilde{n}(V)dV \end{aligned}$$

Sylabus

Termodynamika

1. Základní pojmy

Stav termodynamického systému, vnitřní a vnější parametry, stavové funkce. Adiabatická izolace. Teplo, tepelná kapacita, specifické teplo, latentní teplo. Vzájemná tepelná rovnováha, empirická teplota. Termická a kalorická stavová rovnice, příklady stavových rovnic (ideální plyn, Van der Waalsova stavová rovnice, ideální paramagnet, elastické kontinuum, rovnovážné záření). Vrtnost a nevratnost, kvazistatické déje, polytropické procesy.

2. Tři termodynamické zákony

Diferenciály stavových funkcí, Pfaffovy diferenciální formy, podmínky integrability. První

zákon termodynamiky, vnitřní energie. Formulace druhého zákona: Clausiova, Thomsonova, Carathéodoryho. Účinnost Carnotova cyklu. Absolutní teplota jako integrační faktor, entropie. Maximální práce. Nernstova-Planckova věta a její důsledky.

3. Termodynamické potenciály a jejich praktické použití

Analytické formulace termodynamiky: potenciály, Legendreova transformace. Příklady výpočtu vnitřní energie, entropie, volné energie, entalpie a Gibbsova potenciálu. Gibbsovy-Helmholtzovy rovnice. Maxwellovy relace. Vztah mezi termickou a kalorickou stavovou rovnicí. Rozpínání plynu do vakua, Jouluv-Thomsonův jev. Entropie mísení, Gibbsův paradox. Souvislost měrných tepel při konstantním objemu a při konstantním tlaku.

4. Fázové změny a chemická rovnováha

Podmínky rovnováhy a stability, termodynamické nerovnosti. Fázové změny a chemická rovnováha, klasifikace fázových přechodů. Chemický potenciál, jeho výpočet pro ideální plyn. Ehrenfestovy rovnice. Landauova teorie, lambda-přechody, kritické exponenty. Gibbsovo fázové pravidlo, aplikace na jednosložkový a dvousložkový systém. Chemická rovnováha, afinita, stechiometrické koeficienty. Reakční teplo, zákon působících hmot.

5. Vybrané aplikace rovnovážné termodynamiky

Adiabatické ochlazování. Povrchové napětí, termodynamika mýdlové bublinky. Termodynamika elektromagnetického záření. Termodynamika dielektrik a magnetik, izotermická a adiabatické susceptibilita. Termodynamika elastických těles.

6. Nerovnovážná termodynamika

Onsagerova teorie. Difúze, vedení tepla, Ohmův zákon. Fokker-Planckova rovnice. Termoelektrické jevy. Teorie lineární odezvy.

Statistická fyzika

1. Cíle a prostředky statistického popisu

Makroskopická, mezoskopická a mikroskopická úroveň popisu. Popis stavu systému, fázový prostor, teoretická mechanika a statistická fyzika. Rozdělovací funkce a matice hustoty, Liouvilleova rovnice, stacionární stav, popis relaxace. Řešení Liouvilleovy rovnice

pro klasický harmonický oscilátor a pro kvantový dvouhlinový systém. Ergodický princip. Pravděpodobnost, informace, statistická definice entropie.	
2. Gibbsovy statistické soubory	
Mikrokanonické rozdělení, rozdělovací funkce, hustota stavů, entropie. Kanonické rozdělení, stavová suma, volná energie. Grandkanonický soubor, stavová suma, grandkanonický potenciál. T-P rovnovážný soubor. Fluktuace.	
3. Klasický plyn	
Maxwellovo-Boltzmannovo rozdělení, ekvipartiční a viriálový teorém. Neideální plyn, viriálový rozvoj. Víceatomové molekuly, měrná tepla. Langevinův model paramagnetismu.	
4. Kvantová statistická fyzika	
Princip nerozlišitelnosti, Gibbsuv paradox, Bose-Einsteinovo rozdělení, záření absolutné čeného tělesa, měrná tepla pevných látek, přispěvek kmitů mříže. Fermiho-Diracovo rozdělení, Fermiho degenerovaný plyn.	
5. Nerovnovážná statistická fyzika	
Langevinova rovnice, Langevinova síla, náhodná bloudění, Brownův pohyb. Teorie lineární odezvy, odezvová funkce, relaxační funkce, dynamická susceptibilita. Fluktuačně-disipační teorém.	
LITERATURA	
především poznámky z přednášek	
http://kmf.troja.mff.cuni.cz/chvosta/ pedagogical_activity/	
http://www.google.com/	
http://www.schovan.net/tdsf	
Obsah	
1 Úvod	1
1.1 Tři ilustrační příklady	1
1.1.1 Příklad první: Entropie hrací kostky	1
1.2 Zákony ideálního plynu	2
1.2.1 Izotermický děj $T = \text{konst.}$	2
1.2.2 Izobarický děj $p = \text{konst.}$	2
1.2.3 Izochorický děj $V = \text{konst.}$	2
1.2.4 Obecně ideální plyn	2
1.3 Termické koeficienty	3
1.4 Tepelné koeficienty	3
2 Tři termodynamické zákony	3
2.1 První věta termodynamická	3
2.2 Cyklický děj	4
2.3 Jouleův pokus	4
2.4 Ideální plyn	5
2.5 Adiabatický děj s ideálním plymem .	5
2.6 Barometrická formule	5
2.7 Polytropické děje	6
2.8 Entropie	6
2.9 Axiomy entropie	7
2.10 Formální struktura - max& metoda .	7
2.11 Myš v bludišti	8
2.11.1 Princip detailní rovnováhy .	8
2.11.2 Metropolis algoritmus	9
2.12 Ehrenfestův model	9
2.13 Langevinova rovnice	10
3 Praktická termodynamika	10
3.1 Diskuse základních pojmu	10
3.2 Gibbsův paradox	11
3.3 Termodynamické potenciály	11
3.4 Druhá věta termodynamická	12
3.4.1 Formulace druhé věty termodynamické	12
3.4.2 Konstrukce absolutní teploty	12
3.5 Redukce k přirozeným proměnným .	13

3.6	<i>U</i> -formulace	13	4.1	Časový vývoj	22
3.7	Technika výpočtu derivací	14	4.2	Liouvillův teorém	22
3.8	Termodynamické identity	14	4.2.1	Harmonický oscilátor v 1D .	23
3.9	Modifikované termodynamické koeficienty	15	4.2.2	Dvojhladinový systém	23
3.10	Integrace stavových rovnic	15	4.3	Relaxace do rovnovážného stavu . .	24
3.11	Termodynamické potenciály II	16	4.4	Pauliho rovnice	25
	3.11.1 Volná energie <i>F</i>	16	4.5	Gibbsovy statistické soubory	25
3.12	<i>F</i> -formulace	16	4.6	Výpočet entropie ideálního plynu . .	26
	3.12.1 Vratná adiabatická expanze pro Wan der Vaalsův plyn . .	17	4.7	Vztah k termodynamice	27
3.13	Termodynamické potenciály III	17	4.8	Mikrokanonický soubor pro kvantový systém	27
3.14	Práce a teplo v magnetickém a elektrickém poli	17	4.9	Stavová suma	28
3.15	Otevřené systémy	18	4.10	Shrnutí Gibbsových souborů	28
	3.15.1 Chemický potenciál ideálního plynu	18	4.10.1 Gibbsův mikrokanonický soubor	28	
3.16	Podmínky Gibbsovy rovnováhy	19	4.10.2 Gibbsův kanonický soubor . .	29	
	3.16.1 Dva systémy spojené pohyblivou přepážkou	19	4.11	Stavová suma	30
	3.16.2 Systém kapalina a její pára .	19	4.11.1 Stavová suma kvantově	30	
	3.16.3 Podmínky rovnováhy pro chemickou rovnici	19	4.11.2 Stavová suma pro neinteragující systémy	30	
3.17	Entalpie, Joule-Thomsonův jev	19	4.11.3 Harmonický oscilátor	31	
	3.17.1 Reálný proces - nerovnovážný	20	4.11.4 Kulička na niti	31	
	3.17.2 Reprezentující proces - rovnovážný	20	4.12	Gibbsovy kanonické soubory - shrnutí	32
3.18	Expanze do vakua	20	4.13	Soubory neinteragujících částic	32
3.19	Joule-Thomsonův jev	20			
3.20	Gibbsův potenciál	20			
3.21	Třetí věta termodynamická	20			
3.22	Tepelná roztažnost	21			
3.23	Tepelné kapacity	21			
3.24	Nerovnovážná termodynamika	21			
4	Statistická fyzika	21			

Rejstřík

- algoritmus
 - Metropolis, 9
- bod
 - kritický, 20
 - trojný, 20
- Boltzmanův faktor, 1
- Carnotův cyklus, 12
- děj
 - nerovnovážný, 10
 - rovnovážný, 10
- energie
 - mikrostavu, 1
 - vnitřní, 1
 - volná, 16
- Entalpie, 19
- entalpie, 4
- entropie, 1, 12
 - informační, 1
 - směšovací, 11
- faktor
 - degenerační, 28
- funkce
 - distribuční, 21
 - partiční, 26
 - rozdělovací, 21
- jev
 - izoentalpický, 19
 - Joule-Thomsonův, 19, 20
- křivka
 - koexistence, 20
- kapacita
 - měrná tepelná, 3
 - polytropická tepelná, 6
 - tepelná, 3, 15
- koeficient
 - izobarické objemové roztažnosti, 3, 14, 15
 - izochorické rozpínavosti, 3, 15
 - izotermické stlačitelnosti, 3, 15
 - polytropický, 6
 - termodynamický, 14
 - termický, 21
- Liouvillův teorém, 22
- matice
 - přechodů, 9
- matice hustoty, 22
- Metropolis
 - algoritmus, 9
 - mikrostav, 21
- Nernstova klasifikace, 21
- nerovnost
 - Clausiova, 17
- přechody
 - fázové
 - 1.druhu, 20
- postuláty TD
 - 1., 10
 - 2., 10
- potenciál
 - chemický, 18
- práce
 - elektrického pole, 17
 - paramagnetického pole, 17
- pravidlo
 - Markovovo, 9
- pravidlo -1, 3, 14
- prostor
 - fázový, 21
- relaxační doba, 10
- rovnice
 - 90%, 18
 - 90% TD, 14
 - adiabaty, 18
 - barometrická, 6
 - Langevinova, 10
 - polytropy, 6
 - pro id. plyn, 6
- stavová
 - id.plynu, 2
 - kalorická, 5, 10
 - termická, 5
- rovnováha
 - detailní, 9
 - Gibbsova, 9
- rozdělení
 - Bose-Einsteinovo, 32
 - Fermi-Diracovo, 32
 - Maxwell-Boltzmannovo, 32
- soubor
 - Gibbsův kanonický, 24
 - kanonický, 23, 27
 - mikrokanonický, 23
 - stacionární, 23
- středování
 - časové, 9
 - souborové, 9
- stav, 22

- čistý, 21, 22
- smíšený, 21, 22
- stavová
 - funkce, 1
 - suma, 1, 7
 - veličiny, 1
- stavová funkce, 16
- stavová suma
 - harmonický oscilátor, 31
 - kulička na niti, 31
 - kvantově, 30
 - neinteragující systémy, 30
- stupeň reakce, 19
- TD limita, 32
- teplo, 10, 17
 - latentní, 15
 - paramagnetického pole, 17
- teplota
 - absolutní, 12
 - empirická, 10
- termodynamické koeficienty, 14, 32
- termální záření, 12
- termodynamické potenciály, 17
- termodynamika, 1
- váza, 26
- věta
 - 1.TD, 3, 7
 - 2.TD, 12
 - Caratheodoryho formulace, 12
 - Carnotova formulace, 12
 - Clausiova formulace, 12
 - Thomsonova formulace, 12
 - 3.TD, 20
 - Gibbsova, 29
- vztah
 - Clausiův, 13
 - Mayerův, 4
- vztahy
 - Maxwellovy, 11
- základní relace TD, 7